

УЧРЕЖДЕНИЕ
РОССИЙСКОЙ АКАДЕМИИ НАУК
ИНСТИТУТ ЯДЕРНОЙ ФИЗИКИ
им. Г.И. Будкера СО РАН
СИБИРСКОГО ОТДЕЛЕНИЯ РАН
(ИЯФ СО РАН)

М.Г. Козлов, А.В. Резниченко, В.С. Фадин

ИМПАКТ-ФАКТОР ДЛЯ РОЖДЕНИЯ ГЛЮОНА
В МУЛЬТИРЕДЖЕВСКОЙ КИНЕМАТИКЕ
В СЛЕДУЮЩЕМ ЗА БОРНОВСКИМ ПРИБЛИЖЕНИИ

ИЯФ 2011-23

НОВОСИБИРСК
2011

**Импакт-фактор для рождения глюона
в мультиреджевской кинематике
в следующем за борновским приближении**

М.Г. Козлов[†], А.В. Резниченко[‡], В.С. Фадин^{††}

Институт ядерной физики им. Г.И. Будкера, 630090, Новосибирск, Россия
Новосибирский государственный университет, 630090 Новосибирск, Россия

Аннотация

Найдена однопетлевая поправка к импакт-фактору рождения глюона при переходе однореджеонного состояния в t -канале в двухреджеонное. Этот импакт-фактор является составной частью многочастичных амплитуд в мультиреджевской кинематике. Рассматриваемая поправка необходима для развития теории реджевских и мультиреджевских процессов. В частности, она необходима для доказательства мультиреджевской формы амплитуды в следующем за главным логарифмическом приближении. Также поправка позволяет завершить проверку последнего из недоказанных условий бутстрапа для реджезации глюона и доказать в этом приближении справедливость мультиреджевской формы амплитуды. В статье представлены все необходимые вычисления и дано явное выражение для импакт-фактора при всех возможных цветовых состояниях в t -канале.

** Работа выполнена в рамках проектов РФФИ 10-02-01238, а также ФЦП “Научные и научно-педагогические кадры инновационной России”, грант 14.740.11.0082.*

[†]*e-mail address:* M.G.Kozlov@inp.nsk.su

[‡]*e-mail address:* A.V.Reznichenko@inp.nsk.su

^{††}*e-mail address:* Fadin@inp.nsk.su

©Институт ядерной физики им. Г.И.Будкера СО РАН

М.Г. Козлов, А.В. Резниченко, В.С. Фадин

**Импакт-фактор для рождения глюона
в мультiredжевской кинематике
в следующем за борновским приближении**

M.G. Kozlov, A.V. Reznichenko, V.S. Fadin

**NLO Impact-factor for one gluon production
in the multi-Regge kinematics**

bf Abstract

We found one-loop corrections to the impact-factor of one gluon production for the transition of one-Reggeon to two-Reggeon state in the t-channel. The impact-factor is a component part of the multi-particle production amplitude in the multi-Regge kinematics. The corrections in question are required by the theory development of Regge and multi-Regge processes. In particular, they are necessary for the proof of the multi-Regge form of the amplitude in the next-to-leading logarithmic approximation (NLA). They allow one to accomplish the verification of the last unproved bootstrap condition for the gluon Reggeization and so to prove the NLA multi-Regge form of the amplitude holds true. In the article we perform all calculations and present the explicit form of the impact-factor for arbitrary colour representations in the t-channel.

1 Введение

Теория полужестких процессов в квантовой хромодинамике (КХД) основана на подходе БФКЛ (Балицкого–Фадина–Кураева–Липатова) [1–4], использующем замечательное свойство КХД – реджезацию глюона. В этом подходе амплитуды упругих процессов представляются в виде свертки импакт-факторов сталкивающихся частиц и функций Грина двух взаимодействующих реджезованных глюонов. При рассмотрении неупругих процессов появляется импакт-фактор другого типа — для перехода реджезованного глюона в обычный. Этот импакт фактор давно известен в главном логарифмическом приближении (ГЛП), когда в ряде теории возмущений суммируются только члены вида $(\alpha_S \ln s)^n$. В настоящее время наибольший интерес представляет развитие подхода БФКЛ в следующем за главным логарифмическом приближении (СГЛП), когда также учитываются члены $\alpha_S(\alpha_S \ln s)^n$. Кварковый вклад в импакт-фактор был найден в этом приближении в [5]. В данной работе мы вычисляем глюонный вклад.

Особую важность рассматриваемому импакт-фактору придает то, что он необходим для доказательства мультиреджевской формы амплитуд с глюонным обменом, являющейся основой подхода БФКЛ. В ГЛП эта форма давно доказана [6]. Тем самым, твердо установлена справедливость подхода БФКЛ в ГЛП. В СГЛП доказательство мультиреджевской формы амплитуды также практически завершено. Общая схема этого доказательства сформулирована в работе [7]. Проверка гипотезы о мультиреджевской форме амплитуды основывается на бутстрапном подходе: утверждение гипотезы эквивалентно выполнению так называемых *соотношений* бутстрапа — условий совместимости реджевской формы амплитуды с s -канальной унитарностью, справедливость которых гарантирует правильный реджевский вид последовательно во всех порядках теории возмущений [8]. Соотношения бутстрапа представляют собой бесконечное число уравнений, связывающих различные s -канальные скачки амплитуды многочастичного рождения с ее производными по быстротам. С другой стороны, все амплитуды выражены в терминах глюонной траектории и конечного числа эффективных реджеонных вершин, поэтому

факт выполнения бесконечного числа соотношений бутстрапа представляется весьма нетривиальным. Тем не менее, оказывается, что все они могут быть удовлетворены, если только вершины и траектория подчиняются нескольким нелинейным *условиям* бутстрапа. К настоящему времени все эти условия сформулированы [8–11] и выполнение всех, кроме одного, полностью доказано [7, 12, 13]. Выполнение последнего условия — на неупругую амплитуду рождения одного глюона в мультiredжевской кинематике (МРК) — [11] также было явно проверено [5] в фермионном секторе.

Главными составляющими данного условия бутстрапа являются импакт-фактор перехода реджеона в глюон, а также матричный элемент оператора рождения глюона — здесь и далее мы пользуемся терминологией и определениями, введенными в работе [7]. Импакт-фактор определяется как свободная от больших логарифмов часть $s_2 = (p_{B'} + k)^2$ -канального скачка амплитуды рождения глюона $G(k)$ в неупругом процессе $A + B \rightarrow A' + G(k) + B'$ [11]. Вместе с аналогичным объектом, возникающим от $s = (p_A + p_B)^2$ -канального скачка той же амплитуды и определяющим матричный элемент оператора рождения глюона, импакт-фактор входит в неупругое условие бутстрапа, представляющее собой условие совместимости реджевской формы амплитуды $2 \rightarrow 3$ и соотношения унитарности. Вычисление обеих составляющих условия бутстрапа позволяет завершить его проверку [14] и, тем самым, сделать заключительный шаг в доказательстве мультiredжевской формы амплитуды КХД с глюонным обменом в рамках СГЛП. Нахождение импакт-фактора является необходимым и наиболее сложным этапом этой задачи.

Конечным результатом данной работы является явное аналитическое выражение для импакт-фактора в случае произвольного цветового представления в t -канале. В работе представлены все необходимые промежуточные результаты, позволяющие проследить вычисление импакт-фактора и проверить его правильность.

2 Определения и обозначения

В основных определениях и обозначениях мы следуем [7] и [5]. В работе мы используем светоконусное разложение импульсов: $k = k^+ n_1 + k^- n_2 + k_\perp$, где $k^+ = (k, n_2)$, $k^- = (k, n_1)$ и $n_{1,2} = \frac{1}{\sqrt{2}}(1; 0_\perp; \pm 1)$ — светоконусные векторы, а индекс \perp обозначает компоненты, поперечные плоскости n_1, n_2 .

2.1 Определение импакт-фактора рождения глюона в МРК

Ниже мы применяем развитый в [7] подход t -канального операторного формализма, в котором импакт-фактор $\langle GR_1|$ и собственная функция ядра БФКЛ $\langle R_\omega(q)|$ представлены бра-векторами, а явные аналитические выражения для них возникают как результат проектирования на вектор $|\mathcal{G}_1\mathcal{G}_2\rangle$, описывающий t -канальное состояние двух реджеонов \mathcal{G}_1 и \mathcal{G}_2 . При вычислении матричных элементов мы используем нормировку t -канального скалярного произведения, введенную в [7].

Стоит обратить внимание, что в работе [7], посвященной общей схеме доказательства глюонной реджезации в СГЛП, в определении импакт-фактора была допущена неточность, устраненная в [5]. Итак, корректное определение выглядит следующим образом:

$$\langle GR_1| = \langle GR_1|_s - \langle GR_1|_u, \quad \langle GR_1|\mathcal{G}_1\mathcal{G}_2\rangle_u = \langle GR_1|\mathcal{G}_2\mathcal{G}_1\rangle_s, \quad (2.1)$$

$$\begin{aligned} \langle GR_1|_s = & \langle GR_1|_s^\Delta - \langle GR_1|_s^B \left((\omega(q_1) - \omega(\hat{r}_1)) \ln \left| \frac{k_\perp}{(q_1 - \hat{r}_1)_\perp} \right| \right. \\ & \left. - \omega(\hat{r}_2) \ln \left| \frac{k_\perp}{\hat{r}_{2\perp}} \right| + \hat{\mathcal{K}}_r^B \Delta \right). \end{aligned} \quad (2.2)$$

Импакт-фактор $\langle GR_1|\mathcal{G}_1\mathcal{G}_2\rangle$ явно антисимметричен при замене $\mathcal{G}_1 \leftrightarrow \mathcal{G}_2$ (данная запись подразумевает замену как импульсов реджеонов, так и их цветовых индексов). Графическое представление импакт-фактора рождения глюона приведено на рис. 1. Здесь $k = q_1 - r_1 - r_2$ — импульс рожденного глюона G ; q_1 — импульс реджеона R_1 в канале t_1 . В канале t_2 имеется два реджеона \mathcal{G}_1 и \mathcal{G}_2 с импульсами $r_{1\perp}$ и $r_{2\perp}$ соответственно. Цветовые индексы частиц мы далее будем обозначать теми же символами, что и сами частицы.

Слагаемые с логарифмами в (2.2) мы будем называть вкладом редже-факторов. Это название связано с их происхождением от разложения по g редже-факторов мультиреджевской амплитуды, со скачком которой связан импакт-фактор [11]. Эти вклады представлены на рис. 1с: при этом функция $\mathcal{R}(q_1; r_1, r_2) = \frac{1}{2} \left\{ \omega(r_2) \ln \left[\frac{k_\perp^2}{r_{2\perp}^2} \right] - (\omega(q_1) - \omega(r_1)) \ln \left[\frac{k_\perp^2}{(q_1 - r_1)_\perp^2} \right] \right\}$.

В проекции $\langle GR_1|_s$ на двухреджеонное состояние $|\mathcal{G}_1\mathcal{G}_2\rangle$, по определе-

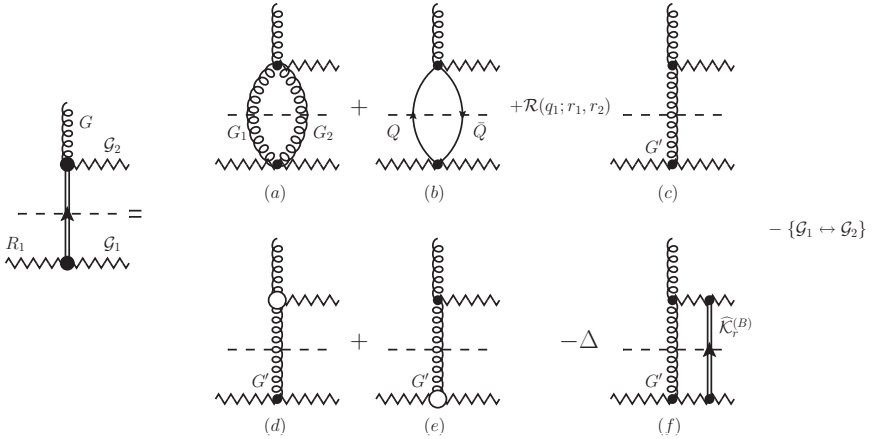


Рис. 1. Схематическое представление импакт-фактора в следующем за борновским приближении. Здесь с учетом антисимметризации $\mathcal{G}_1 \leftrightarrow \mathcal{G}_2$: (a) – борновский импакт-фактор: $J = G'$; (b) – вклад реальных глюонных поправок $J = \{G_1, G_2\}$; (c) – вклад редже-факторов; (d) и (e) – вклады вершинных поправок: черные круги обозначают борновские вершины, а белые круги – виртуальные поправки к ним; (f) – вычитательный член (пропорционален регуляризатору Δ), в котором двойная линия со стрелкой обозначает вставку оператора $\widehat{\mathcal{K}}_r^B$. Пунктирная линия изображает массовую поверхность.

нию, имеем:

$$\langle GR_1 | \mathcal{G}_1 \mathcal{G}_2 \rangle_s^\Delta = \delta^\perp(q_1 - k - r_1 - r_2) \sum_J \int \gamma_{R_1 \mathcal{G}_1}^J \Gamma_{G' J}^{\mathcal{G}_2} d\phi_J \prod_i \theta(\Delta - (z - z_i)). \quad (2.3)$$

Суммирование в (2.3) производится по всем дискретным квантовым числам промежуточной струи J . Быстрота каждой из частиц струи J обозначена как $z_i = \frac{1}{2} \ln \frac{l_i^+}{l_i^-}$, l_i – импульс частицы. Быстрота конечного глюона $G(k) - z = \frac{1}{2} \ln \frac{k^+}{k^-}$. Заметим, что в мультиреджевской кинематике в центральной области быстрот $l^+ = k^+$, где l – полный импульс струи J .

В борновском приближении (рис. 1a) промежуточная струя J состоит только из одного глюона G' , и импакт-фактор имеет следующий вид, вытекающий из определений (2.1) и (2.3) при подстановке явного вида

борновских вершин (2.10) и (2.14):

$$\begin{aligned}
\langle GR_1 | \mathcal{G}_1 \mathcal{G}_2 \rangle^{(B)} &\equiv \delta^\perp (q_1 - k - r_1 - r_2) \sum_{G'} \left(\gamma_{R_1 \mathcal{G}_1}^{G'(B)} \Gamma_{GG'}^{\mathcal{G}_2(B)} - \gamma_{R_1 \mathcal{G}_2}^{G'(B)} \Gamma_{GG'}^{\mathcal{G}_1(B)} \right) = \\
&= -2g^2 \delta^\perp (q_1 - k - r_1 - r_2) e_{\perp\mu}^*(k) q_{1\perp}^2 \left[T_{R_1 \mathcal{G}_1}^{G'} T_{\mathcal{G}_2 G}^{G'} \left(\frac{q_{1\perp}^\mu}{q_{1\perp}^2} - \frac{(q_1 - r_1)_\perp^\mu}{(q_1 - r_1)_\perp^2} \right) - \right. \\
&\quad \left. - T_{R_1 \mathcal{G}_2}^{G'} T_{\mathcal{G}_1 G}^{G'} \left(\frac{q_{1\perp}^\mu}{q_{1\perp}^2} - \frac{(q_1 - r_2)_\perp^\mu}{(q_1 - r_2)_\perp^2} \right) \right], \tag{2.4}
\end{aligned}$$

где $e^\mu(k)$ — вектор поляризации рожденного глюона G , g — неперенормированная константа связи (ниже мы также будем использовать обозначение $\bar{g}^2 = \frac{g^2 N_c \Gamma(1-\epsilon)}{(4\pi)^{2+\epsilon}}$), а T^a — генераторы цветовой алгебры в присоединенном представлении.

В следующем за борновским порядке струя J может состоять либо из одного глюона, либо из двух. В первом случае мы должны учитывать в (2.3) виртуальные поправки к вершинам: это приводит к диаграммам рис. 1d–1e. Второй случай (рис. 1b) будем называть вкладом реальных поправок.

В (2.2) и (2.3) Δ — регуляризатор расходимости, возникающей при интегрировании по быструтам для вкладов реальных поправок (рис. 1b). Вычитательный член (рис. 1f) устраняет зависимость всего импакт-фактора от Δ .

В (2.2) оператор $\widehat{\mathcal{K}}_r^B$ определяется матричным элементом борновского вклада в “реальную” часть (ассоциируется с рождением реальных частиц) ядра БФКЛ:

$$\langle \mathcal{G}'_1 \mathcal{G}'_2 | \widehat{\mathcal{K}}_r^B | \mathcal{G}_1 \mathcal{G}_2 \rangle = \delta^\perp (r'_1 + r'_2 - r_1 - r_2) \frac{1}{2(2\pi)^{D-1}} \sum_{G'} \gamma_{\mathcal{G}'_1 \mathcal{G}'_2}^{G'(B)} \gamma_{\mathcal{G}_1 \mathcal{G}_2}^{G'(B)}, \tag{2.5}$$

где вершина в кросс-канале $\gamma_G^{\mathcal{R}'\mathcal{R}} = \gamma_{\mathcal{R}'\mathcal{R}}^{G-}$ — выражается через (2.10), а индекс “-” у глюона G означает изменение знака импульса и комплексное сопряжение его вектора поляризации. Здесь и далее $D = 4 + 2\epsilon$ — регуляризация по размерности пространства-времени. Подставляя явный вид борновской вершины (2.10), получим

$$\langle \mathcal{G}'_1 \mathcal{G}'_2 | \widehat{\mathcal{K}}_r^B | \mathcal{G}_1 \mathcal{G}_2 \rangle = \delta^\perp (r'_1 + r'_2 - r_1 - r_2) \frac{2}{N_c} T_{\mathcal{G}'_1 \mathcal{G}'_2}^a T_{\mathcal{G}_2 \mathcal{G}_1}^a \mathcal{K}_r^{(B)}(r'_1, r_1; r_1 + r_2), \tag{2.6}$$

где N_c — число цветов.

$$\mathcal{K}_r^{(B)}(r'_1, r_1; r_1 + r_2) = \frac{g^2 N_c}{2(2\pi)^{D-1}} \left((r_1 + r_2)_\perp^2 - \frac{r'_{1\perp} r'_{2\perp} + r'_{2\perp} r_{1\perp}}{(r_1 - r'_1)_\perp^2} \right),$$

$$r_2' = r_1 + r_2 - r_1'. \quad (2.7)$$

Величина однопетлевой части траектории глюона в (2.2) обозначена за $\omega(q)$:

$$\omega(q) = -2\bar{g}^2 \left[\frac{1}{\epsilon} + \ln(-q^2) \right]. \quad (2.8)$$

2.2 Реджевские вершины

Для всех необходимых в наших вычислениях реджевских вершин мы используем светоконусную калибровку $(e, n_2) = 0$. В работе [5] были приведены со всеми необходимыми ссылками эффективные реджевские вершины, а также другие составляющие условия бутстрапа: глюонная траектория $\omega(q)$ и собственная функция $\langle R_\omega(q) | \mathcal{G}_1 \mathcal{G}_2 \rangle$ октетного ядра БФКЛ.

Вершину $\gamma_{R_1 R_2}^G$ рождения глюона G с импульсом $k = q_1 - q_2$ и вектором поляризации e при переходе реджеона R_1 с импульсом q_1 в реджеон R_2 с импульсом q_2 представим как

$$\gamma_{R_1 R_2}^G = \gamma_{R_1 R_2}^{G(B)} + \gamma_{R_1 R_2}^{G(C)}. \quad (2.9)$$

При этом борновская вершина $\gamma_{R_1 R_2}^{G(B)}$ (см. нижний блок диаграммы на рис. 1d.) в нашей светоконусной калибровке представляется в виде

$$\gamma_{R_1 R_2}^{G(B)} = -2gT_{R_1 R_2}^G e_{\perp\mu}^* q_{1\perp}^2 \left(\frac{q_{1\perp}^\mu}{q_{1\perp}^2} - \frac{k_\perp^\mu}{k_\perp^2} \right), \quad (2.10)$$

а в следующем за борновским приближении данная вершина приобретает поправки (см. нижний блок диаграммы на рис. 1e.)

$$\gamma_{R_1 R_2}^{G(C)} = 2g\bar{g}^2 T_{R_1 R_2}^G e_{\perp\mu}^* q_{1\perp}^2 V_g^\mu(q_1, q_2), \quad (2.11)$$

где $V_g^\mu(q_1, q_2)$ — функция вершинных поправок, введенная в [5]:

$$\begin{aligned} V_g^\mu(q_1, q_2) = & \left(\frac{k_\perp^\mu}{k_\perp^2} - \frac{q_{1\perp}^\mu}{q_{1\perp}^2} \right) \left(\frac{11}{6} \frac{q_{1\perp}^2 + q_{2\perp}^2}{q_{1\perp}^2 - q_{2\perp}^2} \ln \left[\frac{q_{1\perp}^2}{q_{2\perp}^2} \right] - \frac{1}{2} \ln^2 \left[\frac{q_{1\perp}^2}{q_{2\perp}^2} \right] - \right. \\ & \left. - |k_\perp^2|^\epsilon \left[\frac{1}{\epsilon^2} - \frac{\pi^2}{2} \right] + \frac{k_\perp^2}{3(q_{1\perp}^2 - q_{2\perp}^2)^2} \left[q_{1\perp}^2 + q_{2\perp}^2 - \frac{2q_{1\perp}^2 q_{2\perp}^2}{q_{1\perp}^2 - q_{2\perp}^2} \ln \left[\frac{q_{1\perp}^2}{q_{2\perp}^2} \right] \right] \right) - \\ & - \frac{k_\perp^\mu}{k_\perp^2} \left(\frac{11}{3} \frac{q_{2\perp}^2}{q_{1\perp}^2 - q_{2\perp}^2} \ln \left[\frac{q_{1\perp}^2}{q_{2\perp}^2} \right] + \frac{k_\perp^2}{6q_{1\perp}^2} - \frac{k_\perp^2 (2k_\perp^2 - q_{1\perp}^2 - q_{2\perp}^2)}{6q_{1\perp}^2 (q_{1\perp}^2 - q_{2\perp}^2)^2} \times \right. \\ & \left. \times \left[q_{1\perp}^2 + q_{2\perp}^2 - \frac{2q_{1\perp}^2 q_{2\perp}^2}{q_{1\perp}^2 - q_{2\perp}^2} \ln \left[\frac{q_{1\perp}^2}{q_{2\perp}^2} \right] \right] \right). \quad (2.12) \end{aligned}$$

Вершину перехода глюона G в глюон G' при рассеянии на реджеоне R также представим в виде суммы борновского вклада и вклада виртуальных поправок:

$$\Gamma_{G'G}^R = \Gamma_{G'G}^{R(B)} + \Gamma_{G'G}^{R(C)}. \quad (2.13)$$

В борновском приближении (см. верхний блок диаграммы на рис. 1e)

$$\Gamma_{G'G}^{R(B)} = -g(e'^*, e)_\perp T_{G'G}^R, \quad (2.14)$$

где e и e' — векторы поляризации глюонов G и G' соответственно. Поправки к этой вершине (см. верхний блок диаграммы на рис. 1d) имеют следующий вид:

$$\begin{aligned} \Gamma_{G'G}^{R(C)} = & -\Gamma_{G'G}^{R(B)} \bar{g}^2 |q_\perp^2|^\epsilon \left(\frac{2}{\epsilon^2} - \frac{11}{6\epsilon} + \frac{67}{18} - \frac{5\pi^2}{6} \right) - \\ & - \frac{g\bar{g}^2}{3} T_{G'G}^R \left((e'_\perp e_\perp) - 2 \frac{(e'_\perp q_\perp)(e_\perp q_\perp)}{q_\perp^2} \right), \end{aligned} \quad (2.15)$$

где q — импульс реджеона R .

Нам также будет необходима вершина $\Gamma_{G\{G_1G_2\}}^R$, получающаяся сопряжением из найденной в [15] вершины $\Gamma_{\{G_1G_2\}G}^R$. Представим ее следующим образом

$$\begin{aligned} \Gamma_{G\{G_1G_2\}}^R = & 2g^2 e_\perp^{*\mu} e_{1\perp}^\nu e_{2\perp}^\rho \left[T_{G_2G'}^R T_{G'G_1}^G (M_{\mu\nu\rho}(l_1, l_2, k_\perp; x_1) - \right. \\ & - M_{\mu\nu\rho}(l_1, l_2, l_\perp; x_1)) + T_{G_2G'}^G T_{G'G_1}^R (M_{\mu\rho\nu}(l_2, l_1, l_\perp; x_2) - \\ & \left. - M_{\mu\rho\nu}(l_2, l_1, l_\perp; x_2)) \right], \end{aligned} \quad (2.16)$$

где $l = l_1 + l_2$, а l_1 , l_2 и k — импульсы глюонов G_1 , G_2 и G соответственно, e_i — их векторы поляризации, и мы ввели обозначение $x_i = \frac{l_i^+}{(l_1+l_2)^+}$, $i = 1, 2$ для относительных продольных компонент импульсов глюонов G_i вдоль вектора n_1 . Далее,

$$\begin{aligned} & M^{\mu\nu\rho}(l_1, l_2, p_\perp; x_1) = \\ & = \frac{x_1 x_2 g_\perp^{\nu\rho} (l_1 - x_1 p)_\perp^\mu - x_1 g_\perp^{\mu\nu} (l_1 - x_1 p)_\perp^\rho - x_2 g_\perp^{\mu\rho} (l_1 - x_1 p)_\perp^\nu}{(l_1 - x_1 p)_\perp^2}, \end{aligned} \quad (2.17)$$

где здесь и далее $x_2 \equiv 1 - x_1$.

Ниже мы будем использовать очевидное свойство функции (2.17):

$$M_{\beta\alpha}^{\mu}(l_2, l_1, l; x_2) = -M_{\alpha\beta}^{\mu}(l_1, l_2, l; x_1), \quad l = l_1 + l_2. \quad (2.18)$$

Вершине (2.16) отвечает верхний блок диаграммы на рис. 1б.

Калибровочно-инвариантная вершина рождения двух глюонов была получена в [16]. В светоконусной калибровке $(e_{1,2}, n_2) = 0$ она приобретает следующий вид:

$$\begin{aligned} \gamma_{R_1 R_2}^{\{G_1 G_2\}} = 4g^2 e_{1\perp}^{*\alpha} e_{2\perp}^{*\beta} & \left[T_{G_1 G'}^{R_1} T_{G' G_2}^{R_2} b_{\alpha\beta}(q_1; l_1, l_2; x_1) + \right. \\ & \left. + T_{G_1 G'}^{R_2} T_{G' G_2}^{R_1} b_{\beta\alpha}(q_1; l_2, l_1; x_2) \right]. \end{aligned} \quad (2.19)$$

Здесь $e_{1,2}$ — векторы поляризации рожденных глюонов G_1 и G_2 , а $x_{1,2} = \frac{l_{1,2}^+}{l_1^+ + l_2^+}$. Функция

$$b^{\alpha\beta}(q_1; l_1, l_2; x_1) = b_{\Lambda}^{\alpha\beta}(q_1; l_1, l_2; x_1) + b_{\sigma}^{\alpha\beta}(q_1; l_1, l_2; x_1) + b_{\tau}^{\alpha\beta}(q_1; l_1, l_2; x_1), \quad (2.20)$$

где мы провели разбиение по типам знаменателей:

$$\begin{aligned} b_{\Lambda}^{\alpha\beta}(q_1; l_1, l_2; x_1) &= -g_{\perp}^{\alpha\beta} \frac{x_1 x_2 (q_1, \Lambda)_{\perp}}{\Lambda_{\perp}^2} + g_{\perp}^{\alpha\beta} \frac{x_1 x_2 q_{1\perp}^2 (\Lambda, x_2 l_1 + x_1 l_2)_{\perp}}{2\Lambda_{\perp}^2 \sigma} + \\ &+ \frac{x_1 q_{1\perp}^{\alpha} \Lambda_{\perp}^{\beta} + x_2 \Lambda_{\perp}^{\alpha} q_{1\perp}^{\beta}}{\Lambda_{\perp}^2} - \frac{x_1 x_2 q_{1\perp}^2 (\Lambda_{\perp}^{\alpha} l_{2\perp}^{\beta} + l_{1\perp}^{\alpha} \Lambda_{\perp}^{\beta})}{\Lambda_{\perp}^2 \sigma}; \\ b_{\sigma}^{\alpha\beta}(q_1; l_1, l_2; x_1) &= \frac{x_1 q_{1\perp}^2 l_{1\perp}^{\alpha} l_{2\perp}^{\beta}}{l_{1\perp}^2 \sigma}; \\ b_{\tau}^{\alpha\beta}(q_1; l_1, l_2; x_1) &= -g_{\perp}^{\alpha\beta} \frac{x_1 x_2 (q_{1\perp}^2 - 2(q_1, l_1)_{\perp})}{2\tau} - \\ &- \frac{x_2 l_{1\perp}^{\alpha} q_{1\perp}^{\beta} - x_1 q_{1\perp}^{\alpha} (q_1 - l_1)_{\perp}^{\beta}}{\tau} - \frac{x_1 q_{1\perp}^2 l_{1\perp}^{\alpha} (q_1 - l_1)_{\perp}^{\beta}}{l_{1\perp}^2 \tau}, \end{aligned} \quad (2.21)$$

причем мы обозначили знаменатели как $\sigma = x_1 l_{2\perp}^2 + x_2 l_{1\perp}^2$, $\tau = x_1 (q_1 - l_1)_{\perp}^2 + x_2 l_{1\perp}^2$, а также ввели вектор $\Lambda_{\perp}^{\mu} = (x_2 l_1 - x_1 l_2)_{\perp}^{\mu}$. Заметим для дальнейших ссылок, что

$$b_{\Lambda}^{\alpha\beta}(q_1; l_1, l_2; x_1) = -b_{\Lambda}^{\beta\alpha}(q_1; l_2, l_1; x_2). \quad (2.22)$$

Вершине (2.19) отвечает нижний блок диаграммы на рис. 1б.

2.3 Цветовые структуры

Следуя [14], мы выбираем следующий базис цветовых структур:

$$\text{Tr}[T^{\mathcal{G}_2} T^G T^{\mathcal{G}_1} T^{R_1}], \quad \frac{N_c}{2} T_{R_1 \mathcal{G}_1}^{G'} T_{\mathcal{G}_2 G}^{G'}, \quad \frac{N_c}{2} T_{R_1 \mathcal{G}_2}^{G'} T_{\mathcal{G}_1 G}^{G'}. \quad (2.23)$$

Первая цветовая структура симметрична относительно перестановки $\mathcal{G}_1 \leftrightarrow \mathcal{G}_2$. Вторая и третья структуры, далее называемые древесными, выбраны такими же, как для вкладов борновского приближения. Выбор в качестве цветового базиса (2.23) удобен тем, что виртуальные поправки к вершинам возникают только для древесных структур, а в силу общей антисимметрии импакт-фактора относительно замены $\mathcal{G}_1 \leftrightarrow \mathcal{G}_2$ вклады симметричной цветовой структуры антисимметричны по замене $r_1 \leftrightarrow r_2$ импульсов реджеонов, что существенно облегчает их вычисления.

Ниже мы будем использовать обозначение для общего коэффициента

$$\mathcal{N}_\mu = \delta^\perp (q_1 - k - r_1 - r_2) q_{1\perp}^2 \frac{4}{N_c} g^2 \bar{g}^2 e_{\perp\mu}^*(k). \quad (2.24)$$

3 Общая методика вычисления импакт-фактора

Представим импакт-фактор рождения глюона в следующем за борновским приближении (2.2) в виде суммы структурных частей:

$$\langle GR_1 | \mathcal{G}_1 \mathcal{G}_2 \rangle = \langle GR_1 | \mathcal{G}_1 \mathcal{G}_2 \rangle^{(B)} + \langle GR_1 | \mathcal{G}_1 \mathcal{G}_2 \rangle^{(v)} + \langle GR_1 | \mathcal{G}_1 \mathcal{G}_2 \rangle^{(r)}. \quad (3.1)$$

В (3.1) величина $\langle GR_1 | \mathcal{G}_1 \mathcal{G}_2 \rangle^{(B)}$ означает борновский импакт-фактор (2.4), $\langle GR_1 | \mathcal{G}_1 \mathcal{G}_2 \rangle^{(v)}$ определяется вкладом в импакт-фактор виртуальных вершинных поправок и редже-факторов и дается выражением (3.3); наконец, $\langle GR_1 | \mathcal{G}_1 \mathcal{G}_2 \rangle^{(r)}$ — наиболее сложная часть, связанная с реальными поправками от двухглюонного промежуточного состояния струи J (3.4). В следующем за борновским приближении существенен только вклад от двухглюонных реальных поправок.

3.1 Вклад $\langle GR_1 | \mathcal{G}_1 \mathcal{G}_2 \rangle^{(v)}$ вершинных поправок и редже-факторов

Величиной $\langle GR_1 | \mathcal{G}_1 \mathcal{G}_2 \rangle^{(v)}$ представлена часть импакт-фактора, содержащая вклады редже-факторов (рис. 1c) и вершинных поправок (рис. 1d, 1e).

$$\begin{aligned}
\langle GR_1 | \mathcal{G}_1 \mathcal{G}_2 \rangle^{(v)} &\equiv \delta^\perp(q_1 - k - r_1 - r_2) \sum_{G'} \left[\gamma_{R_1 \mathcal{G}_1}^{G'(B)} \Gamma_{GG'}^{\mathcal{G}_2(B)} \mathcal{R}(q_1; r_1, r_2) + \right. \\
&+ \left. \gamma_{R_1 \mathcal{G}_1}^{G'(C)} \Gamma_{GG'}^{\mathcal{G}_2(B)} + \gamma_{R_1 \mathcal{G}_1}^{G'(B)} \Gamma_{GG'}^{\mathcal{G}_2(C)} \right] - \{\mathcal{G}_1 \leftrightarrow \mathcal{G}_2\}, \quad (3.2) \\
\mathcal{R}(q_1; r_1, r_2) &= \frac{1}{2} \left\{ \omega(r_2) \ln \left[\frac{k_\perp^2}{r_{2\perp}^2} \right] - \left(\omega(q_1) - \omega(r_1) \right) \ln \left[\frac{k_\perp^2}{(q_1 - r_1)_\perp^2} \right] \right\}.
\end{aligned}$$

Членами с множителем $\mathcal{R}(q_1; r_1, r_2)$ в (3.3) представлен вклад, который мы называем вкладом редже-факторов: см. рис. 1с. Используя введенные выше вершины (2.9)–(2.15), а также принимая во внимание явный вид (2.8) однопетлевой глюонной траектории, нетрудно чисто алгебраическими преобразованиями получить следующее явное выражение

$$\begin{aligned}
\langle GR_1 | \mathcal{G}_1 \mathcal{G}_2 \rangle^{(v)} &= \mathcal{N}_\mu \frac{N_c}{2} T_{R_1 \mathcal{G}_1}^{G'} T_{\mathcal{G}_2 G}^{G'} \left\{ \frac{2r_{2\perp}^\mu}{3r_{2\perp}^2} \left(\frac{(q_1, r_2)_\perp}{q_{1\perp}^2} - \frac{(q_1 - r_1, r_2)_\perp}{(q_1 - r_1)_\perp^2} \right) + \right. \\
&+ \frac{(q_1 - r_1)_\perp^\mu}{6(q_{1\perp}^2 - r_{1\perp}^2)^2} \left(-q_{1\perp}^2 + 2(q_1 - r_1)_\perp^2 - r_{1\perp}^2 \right) \times \\
&\times \left(\frac{q_{1\perp}^2 + r_{1\perp}^2}{q_{1\perp}^2} - \frac{2r_{1\perp}^2}{q_{1\perp}^2 - r_{1\perp}^2} \ln \left[\frac{q_{1\perp}^2}{r_{1\perp}^2} \right] \right) - \frac{(q_1 - r_1)_\perp^\mu}{6q_{1\perp}^2} - \\
&- \frac{11}{3} \frac{(q_1 - r_1)_\perp^\mu}{(q_1 - r_1)_\perp^2} \frac{r_{1\perp}^2}{q_{1\perp}^2 - r_{1\perp}^2} \ln \left[\frac{q_{1\perp}^2}{r_{1\perp}^2} \right] + \left(\frac{q_{1\perp}^\mu}{q_{1\perp}^2} - \frac{(q_1 - r_1)_\perp^\mu}{(q_1 - r_1)_\perp^2} \right) \times \\
&\times \left(\frac{3}{\epsilon^2} - \frac{11}{6\epsilon} + \frac{\ln[-(q_1 - r_1)_\perp^2]}{\epsilon} + \frac{2}{\epsilon} \ln[-r_{2\perp}^2] + \ln^2[-r_{2\perp}^2] - \frac{11}{6} \ln[-r_{2\perp}^2] + \right. \\
&+ \frac{\ln^2[-(q_1 - r_1)_\perp^2]}{2} + \frac{1}{2} \ln^2 \left[\frac{q_{1\perp}^2}{r_{1\perp}^2} \right] - \frac{11}{6} \frac{q_{1\perp}^2 + r_{1\perp}^2}{q_{1\perp}^2 - r_{1\perp}^2} \ln \left[\frac{q_{1\perp}^2}{r_{1\perp}^2} \right] - \\
&- \frac{4\pi^2}{3} + \frac{61}{18} + \frac{2q_{1\perp}^2 r_{1\perp}^2 (q_1 - r_1)_\perp^2}{3(q_{1\perp}^2 - r_{1\perp}^2)^3} \ln \left[\frac{q_{1\perp}^2}{r_{1\perp}^2} \right] - \\
&- \frac{(q_1 - r_1)_\perp^2 (q_{1\perp}^2 + r_{1\perp}^2)}{3(q_{1\perp}^2 - r_{1\perp}^2)^2} + \frac{1}{\epsilon} \ln \left[\frac{k_\perp^2}{r_{2\perp}^2} \right] - \ln \left[\frac{q_{1\perp}^2}{r_{2\perp}^2} \right] \ln \left[\frac{k_\perp^2}{(q_1 - r_1)_\perp^2} \right] + \\
&\left. + \ln \left[\frac{k_\perp^2}{r_{2\perp}^2} \right] \ln[-r_{2\perp}^2] \right\} - \mathcal{N}_\mu \frac{N_c}{2} T_{R_1 \mathcal{G}_2}^{G'} T_{\mathcal{G}_1 G}^{G'} \left\{ r_1 \leftrightarrow r_2 \right\}. \quad (3.3)
\end{aligned}$$

3.2 Вклад $\langle GR_1 | \mathcal{G}_1 \mathcal{G}_2 \rangle^{(r)}$ реальных поправок

Рассмотрим теперь $\langle GR_1 | \mathcal{G}_1 \mathcal{G}_2 \rangle^{(r)}$ — вклад в импакт-фактор за счет механизма рождения двух реальных промежуточных глюонов в струе J : диаграммы на рис. 1b (собственно вклад реальной поправки) и рис. 1f (вычитательный член).

$$\begin{aligned} \langle GR_1 | \mathcal{G}_1 \mathcal{G}_2 \rangle^{(r)} = & \delta^\perp (q_1 - k - r_1 - r_2) \sum_{G_1 G_2} \int \left[\gamma_{R_1 \mathcal{G}_1}^{\{G_1 G_2\}} \Gamma_{G\{G_1 G_2\}}^{G_2} - \right. \\ & \left. - \gamma_{R_1 \mathcal{G}_2}^{\{G_1 G_2\}} \Gamma_{G\{G_1 G_2\}}^{G_1} \right] d\phi_{\{G_1 G_2\}} \prod_{i=1,2} \theta(\Delta - (z - z_i)) - \Delta \langle GR_1 | \hat{\mathcal{K}}_r^B | \mathcal{G}_1 \mathcal{G}_2 \rangle^B. \end{aligned} \quad (3.4)$$

Импульсы частиц промежуточного состояния, состоящего из двух глюонов, обозначим как l_1, l_2 :

$$l_i = l_i^+ n_1 + l_i^- n_2 + l_{i\perp}, \quad l_i^- = -\frac{l_{i\perp}^2}{2l_i^+}, \quad z_i = \frac{1}{2} \ln \frac{l_i^+}{l_i^-}. \quad (3.5)$$

Как и прежде, быстрота рожденного глюона $G(k)$ обозначена как $z = \frac{1}{2} \ln \frac{k^+}{k^-}$.

Для промежуточного состояния из двух глюонов интегрирование в (3.4) проводится с мерой

$$d\phi_{\{G_1 G_2\}} = \frac{1}{2} d^{D-2} l_{1\perp} d^{D-2} l_{2\perp} \frac{\delta^\perp(l - l_1 - l_2)}{(2\pi)^{D-1}} \frac{dx_1 dx_2}{2x_1 x_2} \delta(1 - x_1 - x_2), \quad (3.6)$$

где полный поперечный импульс промежуточного состояния $l_\perp = q_{1\perp} - r_{1\perp}$ для первого произведения вершин $\gamma_{R_1 \mathcal{G}_1}^{\{G_1 G_2\}} \Gamma_{G\{G_1 G_2\}}^{G_2}$ в (3.4) и $l_\perp = q_{1\perp} - r_{2\perp}$ — для второго. Коэффициент $\frac{1}{2}$ в (3.6) учитывает тождественность глюонов. Ограничения на область интегрирования, налагаемые θ -функциями в (3.4), переписываются в виде

$$x_i \geq \sqrt{\frac{l_{i\perp}^2}{k_\perp^2}} e^{-\Delta}. \quad (3.7)$$

Роль вычитательного слагаемого, представленного последним членом в (3.4), — сократить промежуточный регуляризатор Δ расходимости при интегрировании по x_1 . Ниже мы продемонстрируем, как в общем виде происходит это сокращение.

Подстановка в определение (3.4) явного вида вершин $\gamma_{R_1 G_{1,2}}^{\{G_1 G_2\}}$ и $\Gamma_{G\{G_1 G_2\}}^{G_2,1}$ из (2.19) и (2.16) естественным образом приводит к следующим трем цветовым структурам, которые мы выражаем через базисные:

$$\begin{aligned} & \text{Tr}[T^{\mathcal{G}_2} T^G T^{\mathcal{G}_1} T^{R_1}], \\ & \text{Tr}[T^G T^{\mathcal{G}_2} T^{\mathcal{G}_1} T^{R_1}] = \text{Tr}[T^{\mathcal{G}_2} T^G T^{\mathcal{G}_1} T^{R_1}] + \frac{N_c}{2} T_{R_1 G_1}^{G'} T_{\mathcal{G}_2 G}^{G'}, \\ & \text{Tr}[T^G T^{\mathcal{G}_1} T^{\mathcal{G}_2} T^{R_1}] = \text{Tr}[T^{\mathcal{G}_2} T^G T^{\mathcal{G}_1} T^{R_1}] + \frac{N_c}{2} T_{R_1 G_2}^{G'} T_{\mathcal{G}_1 G}^{G'}. \end{aligned} \quad (3.8)$$

До проведения преобразований (3.19) нам будет удобно работать с этими структурами. После суммирования по поляризациям промежуточных глюонов $G_{1,2}$

$$\sum_{pol G_i} (e_{i\perp}^*)^\alpha (e_{i\perp})^{\alpha'} = -g_\perp^{\alpha\alpha'} \quad (3.9)$$

мы получаем коэффициентами при них свертки величин (2.22) и (2.17) следующего вида. Для структуры $\text{Tr}[T^{\mathcal{G}_2} T^G T^{\mathcal{G}_1} T^{R_1}]$ это сумма

$$\begin{aligned} & b^{\alpha\beta}(q_1; l_1, l_2; x_1) \left[M_{\beta\alpha}^\mu(l_2, l_1, k_\perp; x_2) - \right. \\ & \left. - M_{\beta\alpha}^\mu(l_2, l_1, l_\perp; x_2) \right] \Bigg|_{l=l_1+l_2=q_1-r_1} - (r_1 \rightarrow r_2) \end{aligned} \quad (3.10)$$

и

$$\begin{aligned} & b^{\beta\alpha}(q_1; l_2, l_1; x_2) \left[M_{\alpha\beta}^\mu(l_1, l_2, k_\perp; x_1) - \right. \\ & \left. - M_{\alpha\beta}^\mu(l_1, l_2, l_\perp; x_1) \right] \Bigg|_{l=l_1+l_2=q_1-r_1} - (r_1 \rightarrow r_2) \end{aligned} \quad (3.11)$$

Для цветовой структуры $\text{Tr}[T^G T^{\mathcal{G}_2} T^{\mathcal{G}_1} T^{R_1}]$ это сумма свертки

$$b^{\alpha\beta}(q_1; l_1, l_2; x_1) \left[M_{\alpha\beta}^\mu(l_1, l_2, k_\perp; x_1) - M_{\alpha\beta}^\mu(l_1, l_2, l_\perp; x_1) \right] \quad (3.12)$$

и

$$b^{\beta\alpha}(q_1; l_2, l_1; x_2) \left[M_{\beta\alpha}^\mu(l_2, l_1, k_\perp; x_2) - M_{\beta\alpha}^\mu(l_2, l_1, l_\perp; x_2) \right], \quad (3.13)$$

где и в (3.12), и в (3.13) $l = l_1 + l_2 = q_1 - r_1$.

Принимая во внимание симметрию меры интегрирования (3.6) и произведения θ -функций в (3.4), проведем замену $l_1 \leftrightarrow l_2$, во вкладах со свертками (3.11) и (3.13), после чего эти вклады переходят соответственно в (3.10) и (3.12). Для последних же при интегрировании по x_1 больше нет расходимости при $x_1 = 0$. А для (3.10) расходимость по x_1 отсутствует также и в точке $x_1 = 1$. В каждом случае факт отсутствия данных инфракрасных расходимостей можно также проследить на уровне диаграмм Фейнмана. Таким образом, вычитательный член $-\Delta \langle GR_1 | \hat{\mathcal{K}}_r^B | \mathcal{G}_1 \mathcal{G}_2 \rangle^B$ в (3.4) оказывается важен только для второй и третьей цветовых структур (3.8), в чем можно убедиться явно из (2.4) и выражения для “реальной” части ядра БФКЛ (2.7).

Следующим шагом является разбиение области интегрирования по x_1 на две части:

$$\begin{aligned}
 \langle GR_1 | \mathcal{G}_1 \mathcal{G}_2 \rangle^{(r)} &= \frac{\delta^\perp(q_1 - k - r_1 - r_2)}{4} \int \frac{d^{D-2}l_1}{(2\pi)^{D-1}} \int_0^{1-e^{-\Delta} \sqrt{\frac{l_{2\perp}^2}{k_\perp^2}}} \frac{dx_1}{x_1 x_2} [\dots] - \quad (3.14) \\
 -\Delta \langle GR_1 | \hat{\mathcal{K}}_r^B | \mathcal{G}_1 \mathcal{G}_2 \rangle^B &= \frac{\delta^\perp(q_1 - k - r_1 - r_2)}{4} \int \frac{d^{D-2}l_1}{(2\pi)^{D-1}} \int_0^{1-e^{-\Delta}} \frac{dx_1}{x_1 x_2} [\dots] - \\
 -\Delta \langle GR_1 | \hat{\mathcal{K}}_r^B | \mathcal{G}_1 \mathcal{G}_2 \rangle^B &+ \frac{\delta^\perp(q_1 - k - r_1 - r_2)}{4} \int \frac{d^{D-2}l_1}{(2\pi)^{D-1}} \int_{1-e^{-\Delta}}^{1-e^{-\Delta} \sqrt{\frac{l_{2\perp}^2}{k_\perp^2}}} \frac{dx_1}{x_1 x_2} [\dots].
 \end{aligned}$$

В (3.14) за [...] обозначены просуммированные по поляризациям и цветам глюонов G_1 и G_2 вклады в квадратных скобках из (3.4) после описанных выше преобразований (при которых теперь отсутствует расходимость при $x_1 = 0$). После “снятия” дельта-функций здесь остается интегрирование по поперечному импульсу $l_{1\perp}$ ($l_{2\perp} = l_\perp - l_{1\perp}$) и по продольной переменной x_1 . Теперь можно избавиться от Δ , переходя к пределу $\Delta \rightarrow +\infty$:

$$\lim_{\Delta \rightarrow +\infty} \left(\frac{\delta^\perp(q_1 - k - r_1 - r_2)}{4} \int \frac{d^{D-2}l_1}{(2\pi)^{D-1}} \int_0^{1-\epsilon^{-\Delta}} \frac{dx_1}{x_1(1-x_1)} [\dots] - \right. \quad (3.15)$$

$$\left. -\Delta \langle GR_1 | \hat{\mathcal{K}}_r^B | \mathcal{G}_1 \mathcal{G}_2 \rangle^B \right) = \frac{\delta^\perp(q_1 - k - r_1 - r_2)}{4} \int \frac{d^{D-2}l_1}{(2\pi)^{D-1}} \int_0^1 \frac{dx_1}{x_1(1-x_1)_+} [\dots],$$

где использовано обозначение:

$$\int_0^1 \frac{dx_1}{(1-x_1)_+} f(x_1) = \int_0^1 dx_1 \frac{f(x_1) - f(1)}{1-x_1}. \quad (3.16)$$

Заметим, что устранить Δ можно, даже не прибегая к явному виду частей формулы (3.15). В действительности, соотношение (3.15) является следствием свойства факторизации для эффективных вершин, входящих в (3.4). Когда для промежуточных глюонов компоненты x_1 или x_2 близки к единице, вершины $\gamma_{R_1 \mathcal{G}_1}^{\{G_1 G_2\}}$ и $\Gamma_{G\{G_1 G_2\}}^{\mathcal{G}_2}$ факторизуются на произведения двух вершин типа (2.10) в первом случае и типа (2.10) и (2.14) во втором: см. [17], формулы (12) и (13). Принимая также во внимание факторизованную форму (2.5) для “реальной” части ядра БФКЛ, получаем

$$\frac{(4\pi)^{D/2} \mathcal{N}_\mu \text{Tr}[T^G T^{\mathcal{G}_2} T^{\mathcal{G}_1} T^{R_1}]}{q_{1\perp}^2 \Gamma(1-\epsilon)} \left\{ \int \frac{d^{D-2}l_1}{(2\pi)^{D-1}} \left[M_{\alpha\beta}^\mu(l_1, l_2, k_\perp; x_1) - \right. \right.$$

$$\left. - M_{\alpha\beta}^\mu(l_1, l_2, l_\perp; x_1) \right] b^{\alpha\beta}(q_1; l_1, l_2; x_1) \left. \right\} \Big|_{x_1=1; l=q_1-r_1} - \left\{ \mathcal{G}_1 \leftrightarrow \mathcal{G}_2 \right\} =$$

$$= \langle GR_1 | \hat{\mathcal{K}}_r^B | \mathcal{G}_1 \mathcal{G}_2 \rangle^B. \quad (3.17)$$

После этого замечания сокращение Δ становится очевидным. Графически в области интегрирования по x_1 вблизи единицы (или нуля) происходит переход от квазимультиреджевской кинематики диаграммы рис. 1b к мультиреджевской кинематике диаграммы рис. 1f.

В последнем интеграле в правой части (3.14) также можно перейти к пределу $\Delta \rightarrow +\infty$: всюду, кроме знаменателя $1-x_1$, положить $x_1 = 1$. Это приводит к наиболее сложным, с точки зрения дальнейшего интегрирования по импульсам, слагаемым с логарифмом $\ln \left[\frac{l_{2\perp}^2}{k_\perp^2} \right]$ во вкладах цветовых структур $\text{Tr}[T^G T^{\mathcal{G}_2} T^{\mathcal{G}_1} T^{R_1}]$ и $\text{Tr}[T^G T^{\mathcal{G}_1} T^{\mathcal{G}_2} T^{R_1}]$: см. (3.18).

Получаем следующее представление для реальных поправок импакт-фактора:

$$\begin{aligned}
\langle GR_1 | \mathcal{G}_1 \mathcal{G}_2 \rangle^{(r)} &= 4g^4 e_{\perp\mu}^* \delta^\perp(q_1 - k - r_1 - r_2) \int \frac{d^{D-2}l_1}{(2\pi)^{D-1}} \left[\text{Tr}[T^{\mathcal{G}_2} T^G T^{\mathcal{G}_1} T^{R_1}] \times \right. \\
&\times \left\{ \int_0^1 \frac{dx_1}{x_1(1-x_1)_+} b^{\alpha\beta}(q_1; l_1, q_1 - r_1 - l_1; x_1) \left[M_{\beta\alpha}^\mu(q_1 - r_1 - l_1, l_1, k_\perp; x_2) - \right. \right. \\
&- M_{\beta\alpha}^\mu(q_1 - r_1 - l_1, l_1, q_{1\perp} - r_{1\perp}; x_2) \left. \right] - \{r_1 \leftrightarrow r_2\} \left. \right\} + \text{Tr}[T^G T^{\mathcal{G}_2} T^{\mathcal{G}_1} T^{R_1}] \times \\
&\times \left\{ \int_0^1 \frac{dx_1}{x_1(1-x_1)_+} b^{\alpha\beta}(q_1; l_1, q_1 - r_1 - l_1; x_1) \left[M_{\alpha\beta}^\mu(l_1, q_1 - r_1 - l_1, k_\perp; x_1) - \right. \right. \\
&- M_{\alpha\beta}^\mu(l_1, q_1 - r_1 - l_1, q_{1\perp} - r_{1\perp}; x_1) \left. \right] - \frac{q_{1\perp}^2}{4} \ln \left[\frac{(q_1 - r_1 - l_1)_\perp^2}{k_\perp^2} \right] \times \\
&\times \left(\frac{q_{1\perp}^\mu}{q_{1\perp}^2} - \frac{l_{1\perp}^\mu}{l_{1\perp}^2} \right) \left[\frac{1}{(q_1 - r_1 - l_1)_\perp^2} \left(\frac{r_{1\perp}^2}{(q_1 - l_1)_\perp^2} + \frac{r_{2\perp}^2}{(k - l_1)_\perp^2} \right) - \right. \\
&\left. - \frac{(q_1 - k)_\perp^2}{(q_1 - l_1)_\perp^2 (k - l_1)_\perp^2} \right] \left. \right\} - \text{Tr}[T^G T^{\mathcal{G}_1} T^{\mathcal{G}_2} T^{R_1}] \left\{ r_1 \leftrightarrow r_2 \right\} \left. \right]. \quad (3.18)
\end{aligned}$$

В следующем за борновским приближении импакт-фактор как нелогарифмическая часть скачка амплитуды определен неоднозначно (относительно изменения нормировки аргумента большого логарифма). Эта неоднозначность не меняет выражение для полного скачка амплитуды, и следовательно, не влияет на вывод условия бутстрапа. Введем оператор $\hat{\mathcal{U}}_k \sim g^2$, который модифицирует импакт-фактор следующим образом:

$$\langle GR_1 |_* = \langle GR_1 | (1 - \hat{\mathcal{U}}_k). \quad (3.19)$$

Так же (умножением справа на оператор $1 - \hat{\mathcal{U}}_k$) изменяется все условие бутстрапа [14], которое при этом может существенно упроститься, поскольку удачный выбор оператора $\hat{\mathcal{U}}_k$ позволяет устранить наиболее сложные вклады как в импакт-факторе, так и в матричном элементе оператора рождения глюона. Это можно сделать, взяв оператор со сле-

дующими матричными элементами:

$$\begin{aligned}
\langle \mathcal{G}'_1 \mathcal{G}'_2 | \widehat{\mathcal{U}}_k | \mathcal{G}_1 \mathcal{G}_2 \rangle &= g^2 \delta^\perp (r'_1 + r'_2 - r_1 - r_2) T_{\mathcal{G}'_1 \mathcal{G}'_2}^a T_{\mathcal{G}_1 \mathcal{G}_2}^a \frac{r'_{1\perp}{}^2 r'_{2\perp}{}^2}{(2\pi)^{D-1}} \times \\
&\times \left(\frac{r'_{1\perp}{}^\alpha}{r'_{1\perp}{}^2} + \frac{(r_1 - r'_1)_\perp{}^\alpha}{(r_1 - r'_1)_\perp{}^2} \right) \left(\frac{r'_{2\perp}{}^\alpha}{r'_{2\perp}{}^2} + \frac{(r_2 - r'_2)_\perp{}^\alpha}{(r_2 - r'_2)_\perp{}^2} \right) \ln \left[\frac{k_\perp^2}{(r'_1 - r_1)_\perp{}^2} \right] = \quad (3.20) \\
&= \frac{1}{2} \ln \left[\frac{k_\perp^2}{(r_1 - r'_1)_\perp{}^2} \right] \langle \mathcal{G}'_1 \mathcal{G}'_2 | \widehat{\mathcal{K}}_r^B | \mathcal{G}_1 \mathcal{G}_2 \rangle.
\end{aligned}$$

Заметим также для дальнейших ссылок, что преобразованная с помощью оператора $\widehat{\mathcal{U}}_k$ собственная функция октетного ядра БФКЛ имеет вид

$$\begin{aligned}
\langle R_\omega(q_1) | \mathcal{G}_1 \mathcal{G}_2 \rangle_* &\equiv \langle R_\omega(q_1) | (1 - \widehat{\mathcal{U}}_k) | \mathcal{G}_1 \mathcal{G}_2 \rangle = \\
&= \delta^\perp (q_1 - r_1 - r_2) T_{\mathcal{G}_1 \mathcal{G}_2}^{R_1} \left(1 - \bar{g}^2 R_k(r_1, r_2) \right), \quad (3.21)
\end{aligned}$$

где

$$\begin{aligned}
R_k(r_1, r_2) &= \frac{1}{\epsilon^2} + \frac{1}{\epsilon} \left(\frac{11}{6} + \ln[-k_\perp^2] \right) + \left(\frac{11}{6} + \ln \left[\frac{k_\perp^2}{(r_1 + r_2)_\perp{}^2} \right] \right) \times \\
&\times \ln \left[\frac{r'_{1\perp}{}^2 r'_{2\perp}{}^2}{-(r_1 + r_2)_\perp{}^2} \right] - \frac{1}{2} \ln^2 \left[\frac{r'_{1\perp}{}^2}{(r_1 + r_2)_\perp{}^2} \right] - \frac{1}{2} \ln^2 \left[\frac{r'_{2\perp}{}^2}{(r_1 + r_2)_\perp{}^2} \right] + \quad (3.22) \\
&+ \frac{1}{2} \ln^2[-(r_1 + r_2)_\perp{}^2] - \frac{67}{18} + \mathcal{O}(\epsilon).
\end{aligned}$$

Из явного вида (3.20) можно установить, что преобразование (3.19), при котором мы переходим от $\langle GR_1 | \mathcal{G}_1 \mathcal{G}_2 \rangle$ к $\langle GR_1 | \mathcal{G}_1 \mathcal{G}_2 \rangle_* \equiv \langle GR_1 | (1 - \widehat{\mathcal{U}}_k) | \mathcal{G}_1 \mathcal{G}_2 \rangle$, позволяет полностью устранить в (3.18) члены при второй и третьей цветовых структурах, пропорциональные $\ln \left[\frac{(q_1 - r_1 - l_1)_\perp{}^2}{k_\perp^2} \right]$ и $\ln \left[\frac{(q_1 - r_2 - l_1)_\perp{}^2}{k_\perp^2} \right]$ соответственно.

Теперь с помощью формул (3.8) перейдем к нашему цветовому базису (2.23), состоящему из симметричной и древесных цветовых структур, и рассмотрим подробно вычисление коэффициентов при этих структурах.

4 Импакт-фактор рождения глюона в МРК. Древесные цветковые структуры

Данный раздел посвящен вычислению реальных поправок для вкладов древесных цветковых структур (ниже они обозначаются индексом “tree”) в преобразованный импакт-фактор $\langle GR_1 | \mathcal{G}_1 \mathcal{G}_2 \rangle_*$:

$$\begin{aligned} \langle GR_1 | \mathcal{G}_1 \mathcal{G}_2 \rangle_{*tree}^{(r)} &= \frac{\mathcal{N}_\mu}{q_{1\perp}^2} N_c T_{R_1 \mathcal{G}_1}^{G'} T_{\mathcal{G}_2 G}^{G'} \int_0^1 dx_1 \frac{1}{(x_1 x_2)_+} \int \bar{d}l_1 b^{\alpha\beta}(q_1; l_1, l_2; x_1) \times \\ &\times \left[M_{\alpha\beta}^\mu(l_1, l_2; k_\perp; x_1) - M_{\alpha\beta}^\mu(l_1, l_2; l_\perp; x_1) \right] \Bigg|_{l_1+l_2=l=q_1-r_1} - \{ \mathcal{G}_1 \leftrightarrow \mathcal{G}_2 \}. \end{aligned} \quad (4.1)$$

Для краткости записи мы ввели обозначение для меры $\bar{d}l_1 = \frac{d^{D-2}l_1}{\pi^{1+\epsilon}\Gamma(1-\epsilon)}$, а также здесь и ниже в промежуточных выкладках мы полагаем $l = l_1 + l_2 = q_1 - r_1$.

Используя формулы раздела 7, проведем интегрирование по поперечным импульсам выражения

$$\int \bar{d}l_1 \frac{1}{(x_1 x_2)_+} b^{\alpha\beta}(q_1; l_1, l_2; x_1) \left[M_{\alpha\beta}^\mu(l_1, l_2; k_\perp; x_1) - M_{\alpha\beta}^\mu(l_1, l_2; l_\perp; x_1) \right].$$

Разобьем это вычисление на части в соответствии с различными типами знаменателей $b^{\alpha\beta}(q_1; l_1, l_2; x_1)$ в представлении (2.22). В дальнейшем наибольшей трудностью при непосредственном применении формул раздела 7 является возникновение в результате интегрирования в разложении по ϵ сингулярных членов вида $\frac{1}{x_{1+}} \ln[x_1]$ (и $\frac{1}{x_{2+}} \ln[x_2]$). Присутствие таких членов означает, что необходимо выделять точно по ϵ вклады, приводящие к таким сингулярностям при $x_1 \rightarrow 0$ (либо $x_2 \rightarrow 0$). В каждой конкретной ситуации это нетрудно сделать, используя точные по ϵ формулы (7.1), (7.3), (7.5) и (7.8).

Результат вычисления наиболее сложного вклада, полученный с помощью формулы (7.9), ее частного случая (7.10), а также формулы (7.4). Для выделения сингулярных вкладов, в частности, используется точная формула (7.5):

$$\begin{aligned}
& \frac{1}{(x_1 x_2)_+} \int \bar{d}l_1 b_\tau^{\alpha\beta}(q_1; l_1, l_2; x_1) [M_{\alpha\beta}^\mu(l_1, l_2; k; x_1) - M_{\alpha\beta}^\mu(l_1, l_2; l; x_1)] = \\
& = \frac{q_{1\perp}^2}{2} \left\{ \frac{q_{1\perp}^\mu}{q_{1\perp}^2} \left[2 \left(2 - x_1 x_2 - \frac{x_2^2 q_{1\perp}^2}{(q_1 - l)_\perp^2} \right) \ln \left[\frac{x_1 (q_1 - l)_\perp^2 + x_2 q_{1\perp}^2}{x_2 q_{1\perp}^2} \right] - \right. \\
& - \frac{1}{x_2} \ln \left[\frac{x_1 (q_1 - l)_\perp^2 + x_2 q_{1\perp}^2}{(q_1 - l)_\perp^2} \right] + \frac{x_2 l_\perp^2 - (q_1 - l)_\perp^2}{(q_1 - x_1 l)_\perp^2} \ln \left[\frac{x_1 (q_1 - l)_\perp^2 + x_2 q_{1\perp}^2}{x_1 x_2 l_\perp^2} \right] - \\
& - 2 \frac{(-x_1^2 l_\perp^2)^\epsilon}{x_1} \left(\frac{1}{\epsilon} - \epsilon \zeta_2 \right) \left. + \frac{(q_1 - l)_\perp^\mu}{(q_1 - l)_\perp^2} \left[-4 x_1 x_2 \frac{(q_1, q_1 - l)_\perp}{q_{1\perp}^2} + \right. \right. \\
& + \left. \left. \left(\frac{4 x_2^2 (q_1, q_1 - l)_\perp}{(q_1 - l)_\perp^2} + 2 x_2 (x_1 - x_2) \right) \ln \left[\frac{x_1 (q_1 - l)_\perp^2 + x_2 q_{1\perp}^2}{x_2 q_{1\perp}^2} \right] \right] + \right. \\
& + \frac{l_\perp^\mu}{l_\perp^2} \left[\frac{1}{x_2} \ln \left[\frac{x_1 (q_1 - l)_\perp^2 + x_2 q_{1\perp}^2}{(q_1 - l)_\perp^2} \right] - \right. \\
& \left. \left. - \frac{x_2 l_\perp^2}{(q_1 - x_1 l)_\perp^2} \ln \left[\frac{x_1 (q_1 - l)_\perp^2 + x_2 q_{1\perp}^2}{x_1 x_2 l_\perp^2} \right] \right] \right\} - \frac{q_{1\perp}^2}{2} \left\{ l \rightarrow k \right\}. \tag{4.2}
\end{aligned}$$

Здесь $\zeta_2 = \frac{\pi^2}{6}$ — дзета-функция Римана.

Для получения следующего результата используем формулу (7.4) в приведенном “полуразложенном” по ϵ виде, формулу (7.7), точные формулы (7.1), (7.3) и (7.5):

$$\begin{aligned}
& \int \bar{d}l_1 b_\sigma^{\alpha\beta}(q_1; l_1, l_2; x_1) M_{\alpha\beta}^\mu(l_1, l_2; l; x_1) = \frac{q_{1\perp}^2 l_\perp^\mu}{l_\perp^2} \left\{ -\frac{x_1}{2} \ln x_1 + \frac{x_2}{2} \ln x_2 + \right. \\
& \left. + \frac{(-l_\perp^2)^\epsilon}{\epsilon} \left(x_2 (x_1^\epsilon - x_1^{2\epsilon} (1 - \epsilon^2 \zeta_2)) + x_1 (x_2^\epsilon - 1) \right) \right\}. \tag{4.3}
\end{aligned}$$

$$\begin{aligned}
& \frac{1}{(x_1 x_2)_+} \int \bar{d}l_1 b_\sigma^{\alpha\beta}(q_1; l_1, l_2; x_1) M_{\alpha\beta}^\mu(l_1, l_2; k; x_1) = q_{1\perp}^2 \left\{ \frac{(k - l)_\perp^\mu}{2(k - l)_\perp^2} \left(\frac{1}{x_1} - 2 \right) \times \right. \\
& \times \ln \left[\frac{x_1 (k - l)_\perp^2 + x_2 l_\perp^2}{x_2 l_\perp^2} \right] + \frac{k_\perp^\mu}{2k_\perp^2} \frac{1}{x_2} \ln \left[\frac{x_1 (k - l)_\perp^2 + x_2 l_\perp^2}{(k - l)_\perp^2} \right] - \\
& \left. - \frac{x_2 k_\perp^\mu l_\perp^2 + l_\perp^\mu ((l - k)_\perp^2 - x_2 k_\perp^2)}{2l_\perp^2 (l - x_1 k)_\perp^2} \ln \left[\frac{x_1 (k - l)_\perp^2 + x_2 l_\perp^2}{x_1 x_2 k_\perp^2} \right] + \frac{l_\perp^\mu}{2l_\perp^2} \left[\frac{1}{x_1} \ln \frac{1}{x_2} + \right. \right.
\end{aligned}$$

$$\begin{aligned}
& + \frac{1}{x_2} \ln \left[\frac{x_1(k-l)_\perp^2 + x_2 l_\perp^2}{x_1(k-l)_\perp^2} \right] + \frac{2}{x_1} \ln \left[\frac{x_1(k-l)_\perp^2 + x_2 l_\perp^2}{l_\perp^2} \right] - \\
& - \frac{2}{x_1} (-x_1^2 k_\perp^2)^\epsilon \left(\frac{1}{\epsilon} - \epsilon \zeta_2 \right) + \frac{2}{x_1 \epsilon} (-x_1 l_\perp^2)^\epsilon \left. \right\}. \quad (4.4)
\end{aligned}$$

При интегрировании свертки $b_\Lambda^{\alpha\beta}(q_1; l_1, l_2; x_1) M_{\alpha\beta}^\mu(l_1, l_2; k; x_1)$ для вкладов, происходящих от свертки первого и третьего слагаемых из представления (2.22) для $b_\Lambda^{\alpha\beta}$, мы непосредственно применяем формулы (7.3), (7.5) и (7.8). Для вкладов, происходящих от свертки второго и четвертого слагаемых из представления (2.22) для $b_\Lambda^{\alpha\beta}$, удобно сначала разделить знаменатели, используя простое соотношение

$$\frac{x_1 x_2}{\Lambda_\perp^2 [x_2 l_{1\perp}^2 + x_1 l_{2\perp}^2]} = \frac{1}{(l_1 + l_2)_\perp^2} \left[\frac{1}{\Lambda_\perp^2} - \frac{1}{x_2 l_{1\perp}^2 + x_1 l_{2\perp}^2} \right]. \quad (4.5)$$

После чего мы применяем формулы (7.4), (7.5), а также (7.6) и частные ее случаи (7.7) и (7.8).

$$\begin{aligned}
& \frac{1}{(x_1 x_2)_+} \int \bar{d}l_1 b_\Lambda^{\alpha\beta}(q_1; l_1, l_2; x_1) M_{\alpha\beta}^\mu(l_1, l_2; k; x_1) = \\
& = \frac{(k-l)_\perp^\mu}{(k-l)_\perp^2} \left[-2x_1 x_2 (q_1, k-l)_\perp + \frac{q_{1\perp}^2}{2} (2 - 2x_2(x_1 - x_2) + \right. \\
& + 4x_2^2 \left. \left(\frac{(l, k-l)_\perp}{(k-l)_\perp^2} - \frac{1}{x_1} \right) \ln \left[\frac{x_2 l_\perp^2 + x_1(k-l)_\perp^2}{x_2 l_\perp^2} \right] \right] + \\
& + q_{1\perp}^\mu \left[x_1 x_2 + (2 - x_1 x_2) \left(\frac{1}{\epsilon} + \ln(-x_1^2(k-l)_\perp^2) \right) - \right. \\
& - \frac{1}{x_2} \ln x_1^2 - \frac{1}{x_1} (-x_1^2(k-l)_\perp^2)^\epsilon \left(\frac{1}{\epsilon} - \epsilon \zeta_2 \right) \left. \right] - \\
& - q_{1\perp}^2 \frac{l_\perp^\mu}{l_\perp^2} \left[(x_1 x_2 - 2) \ln \left[\frac{x_2 l_\perp^2 + x_1(k-l)_\perp^2}{x_1(k-l)_\perp^2} \right] + \right. \\
& + \frac{x_2^2 l_\perp^2}{(k-l)_\perp^2} \ln \left[\frac{x_2 l_\perp^2 + x_1(k-l)_\perp^2}{x_2 l_\perp^2} \right] + \frac{1}{x_2} \ln \left[\frac{x_2 l_\perp^2 + x_1(k-l)_\perp^2}{x_1(k-l)_\perp^2} \right] + \\
& \left. + \frac{1}{x_1} \left(\ln \left[\frac{x_2 l_\perp^2 + x_1(k-l)_\perp^2}{l_\perp^2} \right] - (-x_1^2(k-l)_\perp^2)^\epsilon \left[\frac{1}{\epsilon} - \epsilon \zeta_2 \right] + \frac{1}{\epsilon} (-x_1 l_\perp^2)^\epsilon \right) \right]. \quad (4.6)
\end{aligned}$$

Далее

$$\begin{aligned} & \frac{1}{(x_1 x_2)_+} \int \bar{d}l_1 b_{\Lambda}^{\alpha\beta}(q_1; l_1, l_2; x_1) M_{\alpha\beta}^{\mu}(l_1, l_2; l; x_1) = \\ & = -q_{1\perp}^2 \frac{l_{\perp}^{\mu}}{l_{\perp}^2} (-l_{\perp}^2)^{\epsilon} \frac{1}{\epsilon} \left[(x_1 x_2)^{\epsilon+1} + x_1^{\epsilon+1} x_2^{\epsilon-1} + x_1^{\epsilon-1} x_2^{\epsilon+1} \right]. \end{aligned} \quad (4.7)$$

После проведения свертки по α и β здесь оказалось удобно перейти от переменной интегрирования $l_{1\perp}$ к переменной $\Lambda_{\perp} = (x_2 l_1 - x_1 l_2)_{\perp} = (l_1 - x_1 l)_{\perp}$. После чего, опуская не дающие вклада в размерностной регуляризации интегралы, применяем вторую формулу (7.1) и приходим к (4.7).

Собирая все результаты вместе до интегрирования по x_1 , получаем

$$\begin{aligned} \langle GR_1 | \mathcal{G}_1 \mathcal{G}_2 \rangle_{*tree}^{(r)} &= \mathcal{N}_{\mu} \frac{N_c}{2} T_{R_1 \mathcal{G}_1}^{G'} T_{\mathcal{G}_2 G}^{G'} \int_0^1 dx_1 \left\{ \left[\left(\frac{q_{1\perp}^{\mu}}{q_{1\perp}^2} - \frac{k_{\perp}^{\mu}}{k_{\perp}^2} \right) \times \right. \right. \\ & \times \left(\frac{1}{x_2} \ln \frac{[x_1 (q_1 - k)_{\perp}^2 + x_2 q_{1\perp}^2]}{(q_1 - k)_{\perp}^2} - \frac{x_2 k_{\perp}^2}{(q_1 - x_1 k)_{\perp}^2} \ln \frac{[x_1 (q_1 - k)_{\perp}^2 + x_2 q_{1\perp}^2]}{x_1 x_2 k_{\perp}^2} \right) + \\ & + \frac{q_{1\perp}^{\mu}}{q_{1\perp}^2} \left(\frac{(q_1 - k)_{\perp}^2}{(q_1 - x_1 k)_{\perp}^2} \ln \frac{[x_1 (q_1 - k)_{\perp}^2 + x_2 q_{1\perp}^2]}{x_1 x_2 k_{\perp}^2} - \right. \\ & - 2 \left(2 - x_1 x_2 - \frac{x_2 q_{1\perp}^2}{(q_1 - k)_{\perp}^2} \right) \ln \frac{[x_1 (q_1 - k)_{\perp}^2 + x_2 q_{1\perp}^2]}{x_2 q_{1\perp}^2} \left. \right) - \\ & - \frac{(q_1 - k)_{\perp}^{\mu}}{(q_1 - k)_{\perp}^2} \left(\frac{4x_2^2 (q_1, q_1 - k)_{\perp}}{(q_1 - k)_{\perp}^2} + 2x_2 (x_1 - x_2) \right) \ln \frac{[x_1 (q_1 - k)_{\perp}^2 + x_2 q_{1\perp}^2]}{x_2 q_{1\perp}^2} \left. \right] - \\ & - [k \rightarrow l] - [q_1 \rightarrow l] + 2 \frac{l_{\perp}^{\mu}}{l_{\perp}^2} \left(\frac{(-l_{\perp}^2)^{\epsilon}}{\epsilon} \left((x_1 x_2)^{\epsilon} \left[x_1 x_2 + 2 \frac{x_1}{x_2} \right] - 2x_1^{\epsilon-1} \right) + \right. \\ & + (2 - x_1 x_2) \ln \frac{x_2 l_{\perp}^2}{x_1 (l - k)_{\perp}^2} \left. \right) + 2 \frac{q_{1\perp}^{\mu}}{q_{1\perp}^2} \left(x_1 x_2 + (2 - x_1 x_2) \times \right. \quad (4.8) \\ & \times \left(\frac{1}{\epsilon} + \ln(-x_1^2 (k - l)_{\perp}^2) \right) - 2 \frac{\ln x_1}{x_2} \left. \right) - 2 \left(\frac{q_{1\perp}^{\mu}}{q_{1\perp}^2} - \frac{l_{\perp}^{\mu}}{l_{\perp}^2} \right) x_1^{2\epsilon-1} \left[(-k - l)_{\perp}^2 \right]^{\epsilon} - \\ & - (-k_{\perp}^2)^{\epsilon} + (-l_{\perp}^2)^{\epsilon} \left] \left(\frac{1}{\epsilon} - \epsilon \zeta_2 \right) - \frac{4x_1 x_2}{q_{1\perp}^2} \left(\frac{(q_1, k - l)_{\perp} (k - l)_{\perp}^{\mu}}{(k - l)_{\perp}^2} + \right. \end{aligned}$$

$$+ \frac{(q_1, q_1 - l)_\perp (q_1 - l)_\perp^\mu}{(q_1 - l)_\perp^2} - \frac{(q_1, q_1 - k)_\perp (q_1 - k)_\perp^\mu}{(q_1 - k)_\perp^2} \Big) \Big\} -$$

$$- \mathcal{N}_\mu \frac{N_c}{2} T_{R_1 G_2}^{G'} T_{G_1 G}^{G'} \int_0^1 dx_1 \left\{ r_1 \leftrightarrow r_2 \right\}.$$

Дальнейшее интегрирование (4.9) либо элементарно, либо приводит к функциям дилогарифмического типа: $\text{Li}_2(z) = -\int_0^1 dy \frac{\ln[1-zy]}{y}$, а также типа

$$I(q_{1\perp}, q_{2\perp}) = \int_0^1 \frac{dx}{(xq_1 + (1-x)q_2)_\perp^2} \ln \left[\frac{xq_{1\perp}^2 + (1-x)q_{2\perp}^2}{x(1-x)(q_1 - q_2)_\perp^2} \right]. \quad (4.9)$$

Для $I(q_{1\perp}, q_{2\perp})$ имеют место следующие соотношения симметрии (см. [12], Appendix B):

$$\begin{aligned} I(q_{1\perp}, q_{2\perp}) &= I(q_{2\perp}, q_{1\perp}) = I(q_{1\perp}, q_{1\perp} - q_{2\perp}) = I(q_{2\perp} - q_{1\perp}, q_{2\perp}) = \\ &= I(-q_{1\perp}, q_{2\perp} - q_{1\perp}), \end{aligned} \quad (4.10)$$

которые мы используем для записи окончательного результата наряду со следующим простым соотношением:

$$\begin{aligned} \int_0^1 dx \frac{(q_1 - q_2, q_1 - x(q_1 - q_2))}{(q_1 - x(q_1 - q_2))^2} \ln \left[\frac{xq_2^2 + (1-x)q_1^2}{x(1-x)(q_1 - q_2)^2} \right] = \\ = \text{Li}_2\left(1 - \frac{q_2^2}{q_1^2}\right) + \frac{1}{2} \ln \left[\frac{q_2^2}{q_1^2} \right] \ln \left[\frac{(q_1 - q_2)^2}{q_1^2} \right]. \end{aligned} \quad (4.11)$$

Заметим, что все дилогарифмические функции, кроме типа (4.9), сокращаются между собой при интегрировании по x_1 , если использовать известное соотношение

$$\text{Li}_2(1-z) + \text{Li}_2\left(1 - \frac{1}{z}\right) = -\frac{1}{2} \ln^2[z]. \quad (4.12)$$

Используя обозначения $V_g^\mu(r_1, r_2)$ и $R_k(r_1, r_2)$, введенные выше в формулах (2.12) и (3.22) соответственно, а также применяя соотношения симметрии (4.10) для функций (4.9), приведем полный результат для реаль-

ных поправок вкладов древесных структур:

$$\begin{aligned}
\langle GR_1 | \mathcal{G}_1 \mathcal{G}_2 \rangle_{*tree}^{(r)} &= \mathcal{N}_\mu \frac{N_c}{2} T_{R_1 \mathcal{G}_1}^{G'} T_{\mathcal{G}_2 G}^{G'} \left\{ \left(\frac{q_{1\perp}^\mu}{q_{1\perp}^2} - \frac{k_\perp^\mu}{k_\perp^2} \right) \left(R_k(r_1, r_2) - \right. \\
&- \frac{1}{2} \ln \left[\frac{(q_1 - k)_\perp^2}{q_{1\perp}^2} \right] \ln \left[\frac{(q_1 - k)_\perp^2}{k_\perp^2} \right] + \frac{1}{2} \ln \left[\frac{q_{1\perp}^2}{r_{1\perp}^2} \right] \ln \left[\frac{(k_\perp^2)^2}{(q_1 - r_1)_\perp^2 r_{1\perp}^2} \right] \right) - \\
&- \left(\frac{(q_1 - r_1)_\perp^\mu}{(q_1 - r_1)_\perp^2} - \frac{k_\perp^\mu}{k_\perp^2} \right) \left(R_k(r_1, q_1 - r_1) - \frac{1}{2} \ln \left[\frac{r_{2\perp}^2}{(q_1 - r_1)_\perp^2} \right] \ln \left[\frac{r_{2\perp}^2}{k_\perp^2} \right] + \right. \\
&+ \frac{1}{2} \ln \left[\frac{q_{1\perp}^2}{r_{1\perp}^2} \right] \ln \left[\frac{(k_\perp^2)^2}{(q_1 - r_1)_\perp^2 r_{1\perp}^2} \right] \right) + \left(\frac{q_{1\perp}^\mu}{q_{1\perp}^2} - \frac{(q_1 - r_1)_\perp^\mu}{(q_1 - r_1)_\perp^2} \right) \left(-\frac{2}{\epsilon^2} + \right. \\
&+ \frac{1}{\epsilon} \left(\frac{11}{6} - \ln[k_\perp^2 r_{2\perp}^2] \right) + \frac{11}{6} \ln[-r_{2\perp}^2] - \frac{61}{18} + \frac{5\pi^2}{6} - \ln[-r_{2\perp}^2] \ln[-k_\perp^2] \left. \right) - \\
&- \frac{2}{3} \frac{r_{2\perp}^\mu}{r_{2\perp}^2} \left(\frac{(q_1, r_2)_\perp}{q_{1\perp}^2} - \frac{(q_1 - r_1, r_2)_\perp}{(q_1 - r_1)_\perp^2} \right) + \left(q_{1\perp}^\mu \frac{(q_1, q_1 - k)_\perp}{q_{1\perp}^2} - \right. \tag{4.13} \\
&- k_\perp^\mu \frac{(k, q_1 - k)_\perp}{k_\perp^2} \left. \right) I(q_{1\perp}, k_\perp) - \left((q_1 - r_1)_\perp^\mu \frac{(q_1 - r_1, r_2)_\perp}{(q_1 - r_1)_\perp^2} - k_\perp^\mu \frac{(r_2, k)_\perp}{k_\perp^2} \right) \times \\
&I(q_{1\perp} - r_{1\perp}, k_\perp) - \left(q_{1\perp}^\mu \frac{(q_1, r_1)_\perp}{q_{1\perp}^2} - (q_1 - r_1)_\perp^\mu \frac{(r_1, q_1 - r_1)_\perp}{(q_1 - r_1)_\perp^2} \right) I(q_{1\perp}, r_{1\perp}) + \\
&+ V_g^\mu(q_1, q_1 - k) - V_g^\mu(q_1, r_1) - V_g^\mu(q_1 - r_1, r_2) \left. \right\} - \\
&- \mathcal{N}_\mu \frac{N_c}{2} T_{R_1 \mathcal{G}_2}^{G'} T_{\mathcal{G}_1 G}^{G'} \left\{ r_1 \leftrightarrow r_2 \right\}.
\end{aligned}$$

Итак, с учетом виртуальных поправок (3.3) окончательное выражение для вкладов древесных цветковых структур в преобразованный импакт-фактор можно представить в виде

$$\begin{aligned}
\langle GR_1 | \mathcal{G}_1 \mathcal{G}_2 \rangle_{*tree} &= \mathcal{N}_\mu \frac{N_c}{2} T_{R_1 \mathcal{G}_1}^{G'} T_{\mathcal{G}_2 G}^{G'} \left\{ -\frac{q_{1\perp}^\mu}{2q_{1\perp}^2} \left(\ln \left[\frac{(q_1 - k)_\perp^2}{q_{1\perp}^2} \right] \ln \left[\frac{(q_1 - k)_\perp^2}{k_\perp^2} \right] - \right. \\
&- \ln \left[\frac{r_{1\perp}^2}{q_{1\perp}^2} \right] \ln \left[\frac{r_{1\perp}^2}{(q_1 - r_1)_\perp^2} \right] \left. \right) + \frac{k_\perp^\mu}{2k_\perp^2} \left(\ln \left[\frac{(q_1 - k)_\perp^2}{q_{1\perp}^2} \right] \ln \left[\frac{(q_1 - k)_\perp^2}{k_\perp^2} \right] - \right. \\
&- \ln \left[\frac{r_{2\perp}^2}{(q_1 - r_1)_\perp^2} \right] \ln \left[\frac{r_{2\perp}^2}{k_\perp^2} \right] \left. \right) - \frac{(q_1 - r_1)_\perp^\mu}{2(q_1 - r_1)_\perp^2} \left(\ln \left[\frac{r_{2\perp}^2}{(q_1 - r_1)_\perp^2} \right] \ln \left[\frac{k_\perp^2}{r_{2\perp}^2} \right] + \right.
\end{aligned}$$

$$\begin{aligned}
& + \ln \left[\frac{q_{1\perp}^2}{r_{1\perp}^2} \right] \ln \left[\frac{(q_1 - r_1)_\perp^2}{r_{1\perp}^2} \right] + \left(q_{1\perp}^\mu \frac{(q_1, q_1 - k)_\perp}{q_{1\perp}^2} - k_\perp^\mu \frac{(k, q_1 - k)_\perp}{k_\perp^2} \right) \times \\
& \times I(q_{1\perp}, k_\perp) - \left((q_1 - r_1)_\perp^\mu \frac{(q_1 - r_1, r_2)_\perp}{(q_1 - r_1)_\perp^2} - k_\perp^\mu \frac{(r_2, k)_\perp}{k_\perp^2} \right) I(q_{1\perp} - r_{1\perp}, k_\perp) - \\
& - \left(q_{1\perp}^\mu \frac{(q_1, r_1)_\perp}{q_{1\perp}^2} - (q_1 - r_1)_\perp^\mu \frac{(r_1, q_1 - r_1)_\perp}{(q_1 - r_1)_\perp^2} \right) I(q_{1\perp}, r_{1\perp}) + \\
& - \left(\frac{(q_1 - r_1)_\perp^\mu}{(q_1 - r_1)_\perp^2} - \frac{k_\perp^\mu}{k_\perp^2} \right) R_k(r_1, q_1 - r_1) - V_g^\mu(q_1 - r_1, r_2) + \\
& + \left. \left(\frac{q_{1\perp}^\mu}{q_{1\perp}^2} - \frac{k_\perp^\mu}{k_\perp^2} \right) R_k(r_1, r_2) + V_g^\mu(q_1, q_1 - k) \right\} - \mathcal{N}_\mu \frac{N_c}{2} T_{R_1 \mathcal{G}_2}^{G'} T_{\mathcal{G}_1 G'}^{G'} \left\{ r_1 \leftrightarrow r_2 \right\}. \tag{4.14}
\end{aligned}$$

5 Импакт-фактор рождения глюона в МРК. Симметричная цветовая структура

Ввиду отсутствия виртуальных поправок для вкладов симметричной цветовой структуры $\text{Tr}[T^{\mathcal{G}_2} T^G T^{\mathcal{G}_1} T^{R_1}]$ окончательный результат в следующем за борновским приближении определяется только вкладами реальных поправок. Исходя из (3.18), с учетом (3.8) и (2.18) имеем

$$\begin{aligned}
\langle GR_1 | \mathcal{G}_1 \mathcal{G}_2 \rangle_{*sym} &= \frac{2\mathcal{N}_\mu}{q_{1\perp}^2} \text{Tr}[T^{\mathcal{G}_2} T^G T^{\mathcal{G}_1} T^{R_1}] \int_0^1 \frac{dx_1}{(x_1 x_2)_+} \int \bar{d}l_1 b^{\alpha\beta}(q_1; l_1, l_2; x_1) \times \\
& \times \left[M_{\beta\alpha}^\mu(l_2, l_1, k_\perp; x_2) + M_{\alpha\beta}^\mu(l_1, l_2, k_\perp; x_1) \right] \Bigg|_{l_1+l_2=l=q_1-r_1} - \{ \mathcal{G}_1 \leftrightarrow \mathcal{G}_2 \}. \tag{5.1}
\end{aligned}$$

Делая замену переменных $l_1 \leftrightarrow l_2$, $x_1 \leftrightarrow x_2$ для первого вклада в квадратных скобках, приходим к следующему подынтегральному выражению в (5.1):

$$M_{\alpha\beta}^\mu(l_1, l_2, k_\perp; x_1) b_s^{\alpha\beta}(q_1; l_1, l_2; x_1),$$

где $M_{\alpha\beta}^\mu(l_1, l_2, k_\perp; x_1)$ из явного вида (2.17) зависит только от $r_1 + r_2$, а

$$\begin{aligned}
b_s^{\alpha\beta}(q_1; l_1, l_2; x_1) &\equiv b^{\alpha\beta}(q_1; l_1, l_2; x_1) + b^{\beta\alpha}(q_1; l_2, l_1; x_2) = \\
&= q_{1\perp}^2 \frac{l_1^\alpha l_2^\beta}{l_1^2 l_2^2} + b_{\tau_1}^{\alpha\beta}(q_1; l_1, l_2; x_1) + b_{\tau_2}^{\beta\alpha}(q_1; l_2, l_1; x_2). \tag{5.2}
\end{aligned}$$

При получении последнего выражения мы использовали (2.20) – (2.22); здесь $\tau_1 = x_1(q_1 - l_1)_\perp^2 + x_2 l_{1\perp}^2$ и $\tau_2 = x_2(q_1 - l_2)_\perp^2 + x_1 l_{2\perp}^2$.

Поскольку $b_{\tau_1}^{\alpha\beta}(q_1; l_1, l_2; x_1)$ зависит только от q_1 и импульса интегрирования l_1 , при антисимметризации $\mathcal{G}_1 \leftrightarrow \mathcal{G}_2$ в (5.1) его вклад исчезает. Более того, все слагаемые в $b_{\tau_2}^{\beta\alpha}(q_1; l_2, l_1; x_2)$, кроме последнего $-\frac{x_2 q_{1\perp}^2 l_{2\perp}^\beta (q_1 - l_2)_\perp^\alpha}{l_{2\perp}^2 \tau_2}$, также сокращаются при антисимметризации $\mathcal{G}_1 \leftrightarrow \mathcal{G}_2$, в чем легко убедиться, проделав для этих слагаемых замены переменных интегрирования $x_1 \rightarrow x_2$, $l_{1\perp} \rightarrow (k - l_1)_\perp$.

Отбрасывая эти слагаемые, проводя свертку по α и β , получаем

$$\begin{aligned}
\langle GR|\mathcal{G}_1\mathcal{G}_2\rangle_{*sym} &= 2\mathcal{N}_\mu \text{Tr}[T^{\mathcal{G}_2} T^G T^{\mathcal{G}_1} T^{R_1}] \left\{ \int_0^1 dx_1 \times \right. \\
&\times \int \bar{d}l_1 \frac{1}{(l_1 - x_1 k)_\perp^2 (l_1 - q_1 + r_1)_\perp^2} \left[-\frac{(l_1 - x_1 k)_\perp^\mu}{l_{1\perp}^2} (l_1, l_1 - q_1 + r_1)_\perp + \right. \\
&+ \frac{l_{1\perp}^\mu}{(x_2)_+ l_{1\perp}^2} (l_1 - x_1 k, l_1 - q_1 + r_1)_\perp + \frac{(l_1 - q_1 + r_1)_\perp^\mu}{(x_1)_+ + l_{1\perp}^2} (l_1 - x_1 k, l_1)_\perp + \\
&+ \frac{x_2 (l_1 - x_1 k)_\perp^\mu (l_1 - q_1 + r_1, l_1 + r_1)}{x_1 (l_1 - q_1 + r_1)_\perp^2 + x_2 (l_1 + r_1)_\perp^2} - \frac{(l_1 + r_1)_\perp^\mu (l_1 - q_1 + r_1, l_1 - x_1 k)_\perp}{x_1 (l_1 - q_1 + r_1)_\perp^2 + x_2 (l_1 + r_1)_\perp^2} - \\
&\left. \left. - \frac{x_2 (l_1 - q_1 + r_1)_\perp^\mu (l_1 - x_1 k, l_1 + r_1)_\perp}{(x_1)_+ [x_1 (l_1 - q_1 + r_1)_\perp^2 + x_2 (l_1 + r_1)_\perp^2]} \right] \right\} - \\
&- 2\mathcal{N}_\mu \text{Tr}[T^{\mathcal{G}_2} T^G T^{\mathcal{G}_1} T^{R_1}] \left\{ r_1 \leftrightarrow r_2 \right\}. \tag{5.3}
\end{aligned}$$

При интегрировании в пространстве поперечных импульсов первого и второго интегралов в квадратных скобках в (5.3) мы использовали соотношение:

$$\begin{aligned}
&\int \bar{d}l \frac{(l - a)_\perp^\mu (l - b, l - c)_\perp}{(l - a)_\perp^2 (l - b)_\perp^2 (l - c)_\perp^2} = \\
&= \frac{1}{2} \left\{ \frac{(a - b)_\perp^\mu}{(a - b)_\perp^2} \ln \left[\frac{(a - c)_\perp^2}{(b - c)_\perp^2} \right] + \frac{(a - c)_\perp^\mu}{(a - c)_\perp^2} \ln \left[\frac{(a - b)_\perp^2}{(c - b)_\perp^2} \right] \right\} + \mathcal{O}(\epsilon). \tag{5.4}
\end{aligned}$$

Однако в случае применения формулы (5.4) к третьему интегралу в квадратных скобках в (5.3) результат оказывается сингулярным при $D = 4$ для дальнейшего интегрирования по x_1 . Поэтому необходимо выделить расходящуюся часть этого интеграла при малых x_1 точно по ϵ . С этой целью используем формулу (точную по D при $K = 0$), которая также была основной для вычислений [14] матричного элемента оператора

рождения глюона для вкладов симметричной цветовой структуры:

$$\begin{aligned}
& \int \bar{d}l \frac{(l, l - K)_\perp (l - Q)_\perp^\mu}{l_\perp^2 (l - K)_\perp^2 (l - Q)_\perp^2} = \\
& = \frac{1}{2} \left\{ \frac{(Q - K)_\perp^\mu}{(Q - K)_\perp^2} \ln \left[\frac{Q_\perp^2}{(Q - K)_\perp^2} \right] + \left(\frac{(Q - K)_\perp^\mu}{(Q - K)_\perp^2} - \frac{Q_\perp^\mu}{Q_\perp^2} \right) \ln \left[\frac{(Q - K)_\perp^2}{K_\perp^2} \right] \right\} + \\
& + \mathcal{O}(\epsilon) + \frac{\Gamma^2(1 + \epsilon)}{\Gamma(1 + 2\epsilon)} \frac{1}{\epsilon} \frac{Q_\perp^\mu}{Q_\perp^2} \left([- (Q - K)_\perp^2]^\epsilon - [-K_\perp^2]^\epsilon \right). \tag{5.5}
\end{aligned}$$

Формула (5.4) является, очевидно, частным случаем (5.5). Таким образом, для случая третьего интеграла из (5.3): $Q = q_1 - r_1$, $K = x_1 k$, и формула (5.5) дает

$$\begin{aligned}
& \frac{1}{(x_1)_+} \int \bar{d}l_1 \frac{(l_1 - q_1 + r_1)_\perp^\mu (l_1, l_1 - x_1 k)_\perp}{l_{1\perp}^2 (l_1 - q_1 + r_1)_\perp^2 (l_1 - x_1 k)_\perp^2} = - \frac{\Gamma^2(1 + \epsilon)}{\Gamma(1 + 2\epsilon)} \frac{1}{\epsilon} \frac{(q_1 - r_1)_\perp^\mu}{(q_1 - r_1)_\perp^2} \frac{(-k_\perp^2)^\epsilon}{x_1^{1-2\epsilon}} + \\
& + \frac{1}{2} \left\{ \frac{(q_1 - r_1)_\perp^\mu}{(q_1 - r_1)_\perp^2} \frac{1}{x_1} \ln \left[\frac{(q_1 - r_1 - x_1 k)_\perp^2}{(q_1 - r_1)_\perp^2} \right] + \frac{1}{x_1} \left(\frac{(q_1 - r_1 - x_1 k)_\perp^\mu}{(q_1 - r_1 - x_1 k)_\perp^2} - \right. \right. \\
& \left. \left. - \frac{(q_1 - r_1)_\perp^\mu}{(q_1 - r_1)_\perp^2} \right) \ln \left[\frac{(q_1 - r_1)_\perp^2}{x_1^2 k_\perp^2} \right] \right\} + \mathcal{O}(\epsilon). \tag{5.6}
\end{aligned}$$

Наконец, четвертый, пятый и шестой интегралы по импульсам в (5.3) дают конечный при $D = 4$ результат. Их вычисление можно провести либо при $D = 4$ методом теории вычетов, либо стандартным способом, что в данном случае проще, так как при этом используются те же базовые интегралы, что и для вкладов древесных цветowych структур. Следуя по этому пути, после сокращения в числителе квадратичных комбинаций по импульсу l_1 со знаменателем к четвертому интегралу из (5.3) мы применяем формулы (7.2), (7.5) и (7.9); к пятому интегралу — формулы (7.2), (7.4) и (7.9); к шестому интегралу — формулы (7.4), (7.5) и (7.9).

Окончательный результат интегрирования по импульсам для вкладов

симметричной цветовой структуры представим в виде

$$\begin{aligned}
\langle GR|\mathcal{G}_2\mathcal{G}_2\rangle_{*sym} &= -\mathcal{N}_\mu \text{Tr}[T^{\mathcal{G}_2}T^G T^{\mathcal{G}_1}T^{R_1}] \int_0^1 dx_1 \left\{ \frac{(q_1 - r_1)_\perp^\mu}{(q_1 - r_1)_\perp^2} \frac{\Gamma^2(1 + \epsilon)}{\Gamma(1 + 2\epsilon)} \times \right. \\
&\times \frac{2(-k_\perp^2)^\epsilon}{\epsilon x_1^{1-2\epsilon}} - \frac{(q_1 - r_1)_\perp^\mu}{(q_1 - r_1)_\perp^2} \frac{1}{x_1} \ln \left[\frac{(r_1 + x_1 k)_\perp^2 (r_2 + x_1 k)_\perp^2 (r_2 + x_2 k)_\perp^2}{x_2^2 r_{1\perp}^2 r_{2\perp}^2 (k + r_2)_\perp^2} \right] + \\
&+ \left(\frac{x_1 k_\perp^\mu}{(r_2 + x_1 k)_\perp^2} + \frac{(q_1 - r_1)_\perp^\mu}{(q_1 - r_1)_\perp^2} \frac{(r_{2\perp}^2 - x_1 k_\perp^2)}{(r_2 + x_1 k)_\perp^2} \right) \ln \left[\frac{(r_1 + x_2 k)_\perp^2 (q_1 - r_1)_\perp^2}{q_{1\perp}^2 k_\perp^2 x_2^2} \right] + \\
&+ \frac{k_\perp^\mu}{k_\perp^2} \frac{1}{x_1} \ln \left[\frac{(r_1 + x_1 k)_\perp^2}{r_{1\perp}^2} \right] - \frac{q_{1\perp}^\mu}{q_{1\perp}^2} \frac{1}{x_1} \ln \left[\frac{(r_1 + x_2 k)_\perp^2 (r_1 + x_1 k)_\perp^2}{(r_1 + k)_\perp^2 r_{1\perp}^2} \right] \left. \right\} + \\
&+ \mathcal{N}_\mu \text{Tr}[T^{\mathcal{G}_2}T^G T^{\mathcal{G}_1}T^{R_1}] \int_0^1 dx_1 \left\{ r_1 \leftrightarrow r_2 \right\}.
\end{aligned} \tag{5.7}$$

Заметим, что при получении выражения (5.7), форма которого наиболее удобна для дальнейшей проверки условия бутстрапа, к некоторым слагаемым применялась замена переменных $x_1 \leftrightarrow x_2$ и использовалась антисимметрия всего вклада по замене $r_1 \leftrightarrow r_2$. Дальнейшее интегрирование по x_1 выражения (5.7) приводит, помимо первого слагаемого в фигурных скобках, к дилогарифмическим функциям комплексного аргумента.

6 Заключение

Нами был вычислен импакт-фактор рождения глюона в мультиреджевской кинематике в следующем за борновским приближении. Вычисления проводились в размерностной регуляризации с использованием светоконусной калибровки с фиксирующим калибровку вектором p_2 для эффективных вершин, входящих в определение (2.2) импакт-фактора. Импакт-фактор состоит из двух частей: кварковой и глюонной. Вычисления импакт-фактора для вкладов фермионного сектора представлены в работе [5]. Результаты вычисления вкладов глюонного сектора для различных цветовых представлений в t -канале представлены формулами (4.14) и (5.7).

Следует заметить, что импакт-фактор является калибровочно инвариантной величиной, поскольку выражается через калибровочно инвариантные эффективные вершины взаимодействия реджезованных глюонов

с частицами. Определенная калибровка была взята только для упрощения вычислений. В любой другой калибровке импакт-фактор может быть получен из наших результатов (4.14) и (5.7) соответствующим преобразованием вектора поляризации глюона $G(k)$.

Импакт-фактор наряду с матричным элементом оператора рождения глюона, вычисленным в работе [14], является необходимой составляющей в доказательстве условия бутстрапа на неупругую амплитуду рождения одного глюона. Удачный выбор цветового базиса (2.23) оказался важным элементом, упрощающим вычисления обеих составляющих. Кроме того, применение оператора \hat{U}_k (3.20), преобразующего импакт-фактор по формуле (3.19), позволило устранить в нем наиболее сложные вклады и упростить дальнейший анализ условия бутстрапа [14]. Приведенные выше результаты (4.14) и (5.7) даны в наиболее удобной форме для проверки данного условия. Явное ее осуществление [14] явилось важным и заключительным шагом в схеме доказательства мультiredжевской формы амплитуд КХД с глюонным обменом в СГЛП, сформулированной в работе [7].

7 Приложение. Интегралы по импульсам в поперечном пространстве

В этом разделе мы приводим ответы для всех встречающихся в наших вычислениях интегралов по импульсам в поперечном пространстве. Результаты интегрирования приведены в разложении по ϵ , а также точно по ϵ , где это возможно. Некоторые ответы ввиду дальнейшего интегрирования по параметру x_1 приведены в форме, в которой потенциально сингулярные члены приведены с коэффициентами, разложенными до членов порядка ϵ включительно.

$$\int \bar{d}l \frac{1}{(l-Q)_\perp^2 - m^2} = \frac{(m^2)^\epsilon}{\epsilon}, \quad \int \bar{d}l \frac{1}{l_\perp^2 [l_\perp^2 - m^2]} = \frac{(m^2)^\epsilon}{\epsilon m^2}, \quad (7.1)$$

где, напомним, для краткости меру интегрирования по импульсам в поперечном пространстве мы обозначаем как $\bar{d}l = \frac{d^{D-2}l}{\pi^{1+\epsilon}\Gamma(1-\epsilon)}$.

$$\int \bar{d}l \frac{1}{l_{\perp}^2 [(l-Q)_{\perp}^2 - m^2]} = \frac{1}{[m^2 - Q_{\perp}^2]^{1-\epsilon}} \int_0^1 \frac{dx}{x^{1-\epsilon}} \left[1 - \frac{Q_{\perp}^2}{Q_{\perp}^2 - m^2} x \right]^{\epsilon-1} = \frac{1}{[m^2 - Q_{\perp}^2]^{1-\epsilon}} \left[\frac{2}{\epsilon} - \frac{1}{\epsilon} \left(\frac{m^2}{m^2 - Q_{\perp}^2} \right)^{\epsilon} - 2\epsilon \text{Li}_2 \left(\frac{Q_{\perp}^2}{Q_{\perp}^2 - m^2} \right) + \mathcal{O}(\epsilon^2) \right]. \quad (7.2)$$

Для случая $m = 0$ приведем точный по D ответ:

$$\int \frac{\bar{d}l}{l_{\perp}^2 (l-Q)_{\perp}^2} = \frac{2}{\epsilon} \frac{\Gamma^2(1+\epsilon)}{\Gamma(1+2\epsilon)} \frac{1}{[-Q_{\perp}^2]^{1-\epsilon}}. \quad (7.3)$$

Далее

$$\int \bar{d}l \frac{l_{\perp}^{\mu}}{(l-K)_{\perp}^2 [(l-Q)_{\perp}^2 - m^2]} = \frac{1}{[m^2 - (K-Q)_{\perp}^2]^{1-\epsilon}} \left\{ \left(Q_{\perp}^{\mu} \left(1 - \frac{m^2}{(K-Q)_{\perp}^2} \right) + K_{\perp}^{\mu} \frac{m^2}{(K-Q)_{\perp}^2} \right) \left(\frac{1}{\epsilon} \left[1 - \left(\frac{m^2}{m^2 - (K-Q)_{\perp}^2} \right)^{\epsilon} \right] + \epsilon \text{Li}_2 \left(\frac{(K-Q)_{\perp}^2}{(K-Q)_{\perp}^2 - m^2} \right) \right) + K_{\perp}^{\mu} \left[\frac{1}{\epsilon} - \epsilon \text{Li}_2 \left(\frac{(K-Q)_{\perp}^2}{(K-Q)_{\perp}^2 - m^2} \right) \right] \right\} + \mathcal{O}(\epsilon^2). \quad (7.4)$$

При $m = 0$ можно найти точный по ϵ ответ (он необходим для выделения сингулярных членов):

$$\int \bar{d}l \frac{l_{\perp}^{\mu}}{(l-K)_{\perp}^2 (l-Q)_{\perp}^2} = \frac{1}{\epsilon} \frac{\Gamma^2(1+\epsilon)}{\Gamma(1+2\epsilon)} \frac{K_{\perp}^{\mu} + Q_{\perp}^{\mu}}{[-(K-Q)_{\perp}^2]^{1-\epsilon}}. \quad (7.5)$$

Также для вычислений коэффициентов при древесных цветовых струк-

турах нам необходим тензорный интеграл

$$\begin{aligned}
& \int \bar{d}\bar{l} \frac{l_{\perp}^{\mu} l_{\perp}^{\nu}}{(l-K)_{\perp}^2 [(l-Q)_{\perp}^2 - m^2]} = \frac{g_{\perp}^{\mu\nu}}{2} \left(\frac{1}{\epsilon} + \ln[m^2] - 2 - \frac{m^2 - (Q-K)_{\perp}^2}{(Q-K)_{\perp}^2} \right) \times \\
& \times \ln \left[\frac{m^2 - (Q-K)_{\perp}^2}{m^2} \right] + \frac{(Q-K)_{\perp}^{\mu} (Q-K)_{\perp}^{\nu}}{(Q-K)_{\perp}^2} \left(1 + \frac{m^2 - (Q-K)_{\perp}^2}{(Q-K)_{\perp}^2} \right) \times \\
& \times \ln \left[\frac{m^2 - (Q-K)_{\perp}^2}{m^2} \right] + \frac{K_{\perp}^{\mu} K_{\perp}^{\nu}}{m^2 - (Q-K)_{\perp}^2} \left(\frac{1}{\epsilon} + \ln[m^2 - (Q-K)_{\perp}^2] \right) + \\
& + \ln \left[\frac{m^2 - (Q-K)_{\perp}^2}{m^2} \right] + \frac{K_{\perp}^{\mu} (Q-K)_{\perp}^{\nu} + K_{\perp}^{\nu} (Q-K)_{\perp}^{\mu}}{(Q-K)_{\perp}^2} \times \\
& \times \ln \left[\frac{m^2}{m^2 - (Q-K)_{\perp}^2} \right] + \mathcal{O}(\epsilon),
\end{aligned} \tag{7.6}$$

а также два его частных случая:

$$\begin{aligned}
& \int \bar{d}\bar{l} \frac{l_{\perp}^{\mu} l_{\perp}^{\nu}}{l_{\perp}^2 [(l-Q)_{\perp}^2 - m^2]} = \frac{g_{\perp}^{\mu\nu}}{2} \left(\frac{1}{\epsilon} + \ln[m^2] - 2 - \frac{m^2 - Q_{\perp}^2}{Q_{\perp}^2} \ln \left[\frac{m^2 - Q_{\perp}^2}{m^2} \right] \right) + \\
& + \frac{Q_{\perp}^{\mu} Q_{\perp}^{\nu}}{Q_{\perp}^2} \left(1 + \frac{m^2 - Q_{\perp}^2}{Q_{\perp}^2} \ln \left[\frac{m^2 - Q_{\perp}^2}{m^2} \right] \right) + \mathcal{O}(\epsilon),
\end{aligned} \tag{7.7}$$

и точный по ϵ результат:

$$\begin{aligned}
& \int \bar{d}\bar{l} \frac{l_{\perp}^{\mu} l_{\perp}^{\nu}}{(l-K)_{\perp}^2 (l-Q)_{\perp}^2} = \frac{\Gamma^2(1+\epsilon)}{\epsilon \Gamma(1+2\epsilon)} \frac{1}{[-(Q-K)_{\perp}^2]^{1-\epsilon}} \left\{ Q_{\perp}^{\mu} K_{\perp}^{\nu} + K_{\perp}^{\mu} Q_{\perp}^{\nu} + \right. \\
& \left. + \frac{1+\epsilon}{1+2\epsilon} (K-Q)_{\perp}^{\mu} (K-Q)_{\perp}^{\nu} - g_{\perp}^{\mu\nu} \frac{(K-Q)_{\perp}^2}{2(1+2\epsilon)} \right\}.
\end{aligned} \tag{7.8}$$

Приведем одну из основных формул для вычислений вкладов древес-

ных цветовых структур:

$$\begin{aligned}
& \int \bar{d}l \frac{l_{\perp}^{\mu}}{l_{\perp}^2 (l - K)_{\perp}^2 [(l - Q)_{\perp}^2 - m^2]} = \frac{K_{\perp}^{\mu}}{K_{\perp}^2} \frac{1}{[m^2 - (Q - K)_{\perp}^2]^{1-\epsilon}} \times \\
& \times \left[\frac{2}{\epsilon} - \frac{1}{\epsilon} \left(\frac{m^2}{m^2 - (Q - K)_{\perp}^2} \right)^{\epsilon} - 2\epsilon \text{Li}_2 \left(\frac{(Q - K)_{\perp}^2}{(Q - K)_{\perp}^2 - m^2} \right) \right] + \\
& + \frac{Q_{\perp}^{\mu} + K_{\perp}^{\mu} \frac{m^2 - Q_{\perp}^2}{K_{\perp}^2}}{(m^2 - Q_{\perp}^2)[(Q - K)_{\perp}^2 - m^2] - m^2 K_{\perp}^2} \times \\
& \times \ln \left[\frac{(m^2 - Q_{\perp}^2)[(Q - K)_{\perp}^2 - m^2]}{m^2 K_{\perp}^2} \right] + \mathcal{O}(\epsilon), \tag{7.9}
\end{aligned}$$

В частном, но весьма часто используемом случае при $m = 0$ (7.9) переходит в

$$\begin{aligned}
& \int \bar{d}l \frac{l_{\perp}^{\mu}}{l_{\perp}^2 (l - K)_{\perp}^2 (l - Q)_{\perp}^2} = \\
& = \frac{1}{[-(Q - K)_{\perp}^2]^{1-\epsilon}} \left\{ \frac{1}{\epsilon} \left(\frac{Q_{\perp}^{\mu}}{Q_{\perp}^2} + \frac{K_{\perp}^{\mu}}{K_{\perp}^2} \right) + \ln \left[\frac{Q_{\perp}^2}{K_{\perp}^2} \right] \left(\frac{Q_{\perp}^{\mu}}{Q_{\perp}^2} - \frac{K_{\perp}^{\mu}}{K_{\perp}^2} \right) \right\} + \mathcal{O}(\epsilon). \tag{7.10}
\end{aligned}$$

Из этого результата, а также из точного ответа (7.5) легко выводятся формулы (5.4), (5.5), которые используются для интегрирования вкладов симметричной цветовой структуры.

Список литературы

- [1] V. S. Fadin, E. A. Kuraev and L. N. Lipatov, Phys. Lett. B **60** (1975) 50.
- [2] E. A. Kuraev, L. N. Lipatov and V. S. Fadin, Sov. Phys. JETP **44** (1976) 443 [Zh. Eksp. Teor. Fiz. **71** (1976) 840].
- [3] E. A. Kuraev, L. N. Lipatov and V. S. Fadin, Sov. Phys. JETP **45** (1977) 199 [Zh. Eksp. Teor. Fiz. **72** (1977) 377].
- [4] I. I. Balitsky and L. N. Lipatov, Sov. J. Nucl. Phys. **28** (1978) 822 [Yad. Fiz. **28** (1978) 1597].
- [5] V. S. Fadin, M. G. Kozlov and A. V. Reznichenko, Yad. Fiz. **74** (2011) 784–796 pp.
- [6] Ya.Ya. Balitskii, L.N. Lipatov and V.S. Fadin, in *Materials of IV Winter School of LNPI* (Leningrad, 1979) 109.
- [7] V. S. Fadin, R. Fiore, M. G. Kozlov and A. V. Reznichenko, Phys. Lett. B **639** (2006) 74 [arXiv:hep-ph/0602006].
- [8] V. S. Fadin, Talk given at the NATO Advanced Research Workshop DIFFRACTION 2002, Diffraction 2002, NATO Science Series, **101** (2002) 235.
- [9] M. Braun and G. P. Vacca, Phys. Lett. B **477** (2000) 156 [arXiv:hep-ph/9910432].
- [10] V. S. Fadin, Phys. Atom. Nucl., **66** (2003) 2017.
- [11] J. Bartels, V. S. Fadin and R. Fiore, Nucl. Phys. B **672** (2003) 329 [arXiv:hep-ph/0307076].
- [12] V. S. Fadin and A. Papa, Nucl. Phys. B **640** (2002) 309 [arXiv:hep-ph/0206079].
- [13] V. S. Fadin, M. G. Kozlov and A. V. Reznichenko, Phys. Atom. Nucl. **67** (2004) 359 [Yad. Fiz. **67** (2004) 377] [arXiv:hep-ph/0302224].
- [14] V. S. Fadin, M. G. Kozlov and A. V. Reznichenko, To be published.
- [15] V. S. Fadin, R. Fiore, M. I. Kotsky and A. Papa, Phys. Rev. D **61** (2000) 094005 [arXiv:hep-ph/9908264].
- [16] V. S. Fadin and L. N. Lipatov, JETP Lett. **49** (1989) 352 [Yad. Fiz. **50** (1989 SJNCA,50,712.1989) 1141].
- [17] V. S. Fadin and R. Fiore, Phys. Lett. B **440** (1998) 359 [arXiv:hep-ph/9807472].

М.Г. Козлов, А.В. Резниченко, В.С. Фадин

**Импакт-фактор для рождения глюона
в мультиреджевской кинематике
в следующем за борновским приближении**

M.G. Kozlov, A.V. Reznichenko, V.S. Fadin

**NLO Impact-factor for one gluon production
in the multi-Regge kinematics**

ИЯФ 2011-23

Ответственный за выпуск А.В. Васильев

Работа поступила 29.08.2011 г.

Сдано в набор 30.08.2011 г.

Подписано в печать 31.08.2011 г.

Формат бумаги 60×90 1/16 Объем 2.2 печ.л., 1.8 уч.-издл.

Тираж 90 экз. Бесплатно. Заказ № 23

Обработано на РС и отпечатано на

ротапринте «ИЯФ им. Г.И. Будкера» СО РАН

Новосибирск, 630090, пр. академика Лаврентьева, 11.